

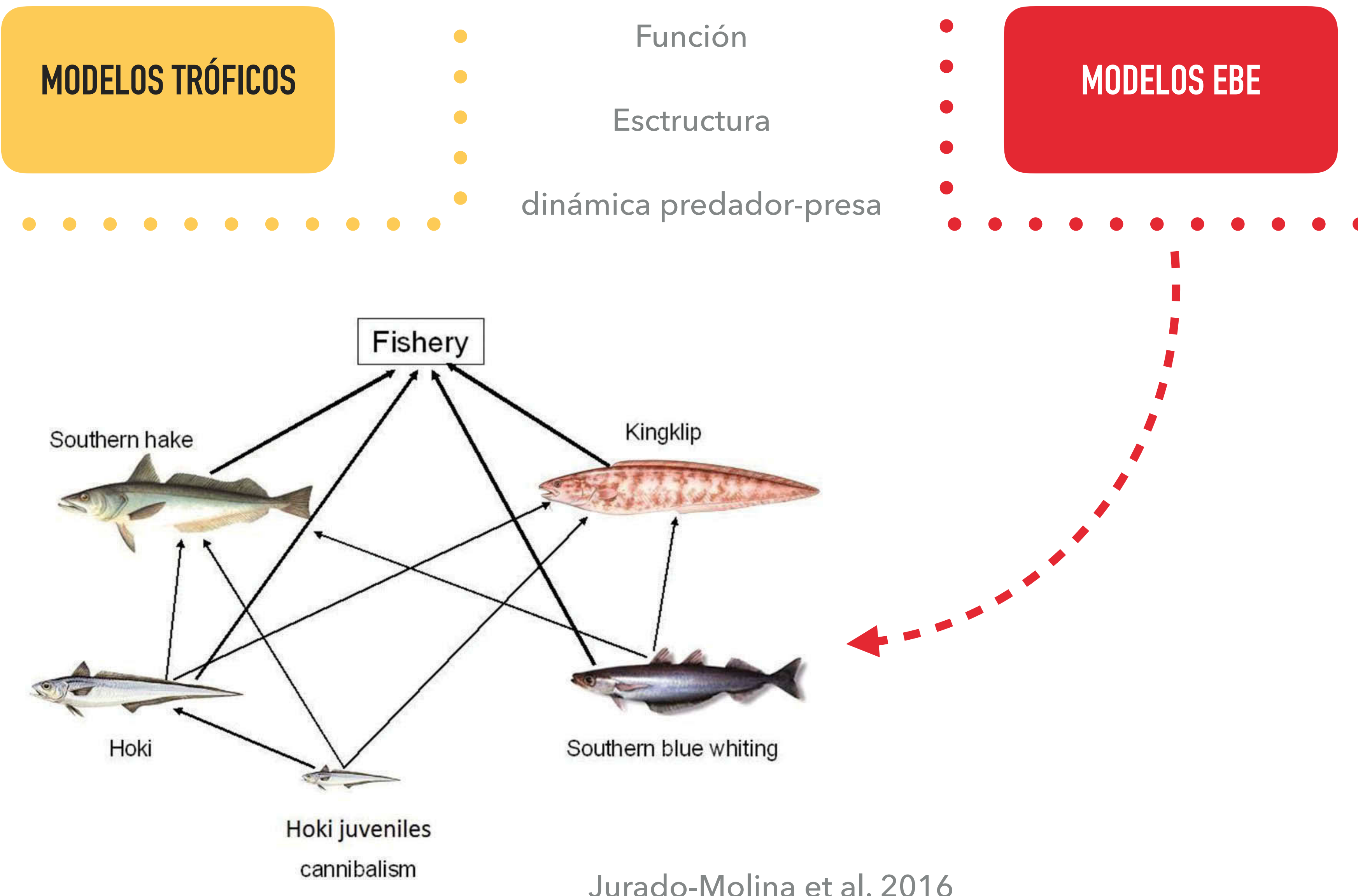


Universidad
Andrés Bello

TROFODINÁMICA DEL BACALAO DE PROFUNDIDAD COMBINANDO ISÓTOPOS ESTABLES Y CONTENDES ESTOMACALES.

SEB. KLARIAN. MSC. PHD

SUBPESCA-IFOP: SEGUIMIENTO DE RECURSOS DEMERSALES, TEMPORADA DE PESCA AÑO 2013



MÉTODOS EN TROFODINÁMICA

3



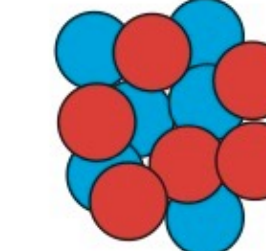
SCA



- Provee info. presas
- Incertidumbre cero

SIA

carbon-12

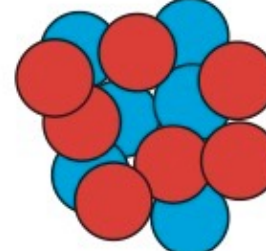


^{12}C

6 protons
6 neutrons

light

carbon-13



^{13}C

6 protons
7 neutrons
heavy

- Info a largo plazo
- Inferencias de consumo

- ▶ Sesgos debido a las TDg
- ▶ Info a corto plazo

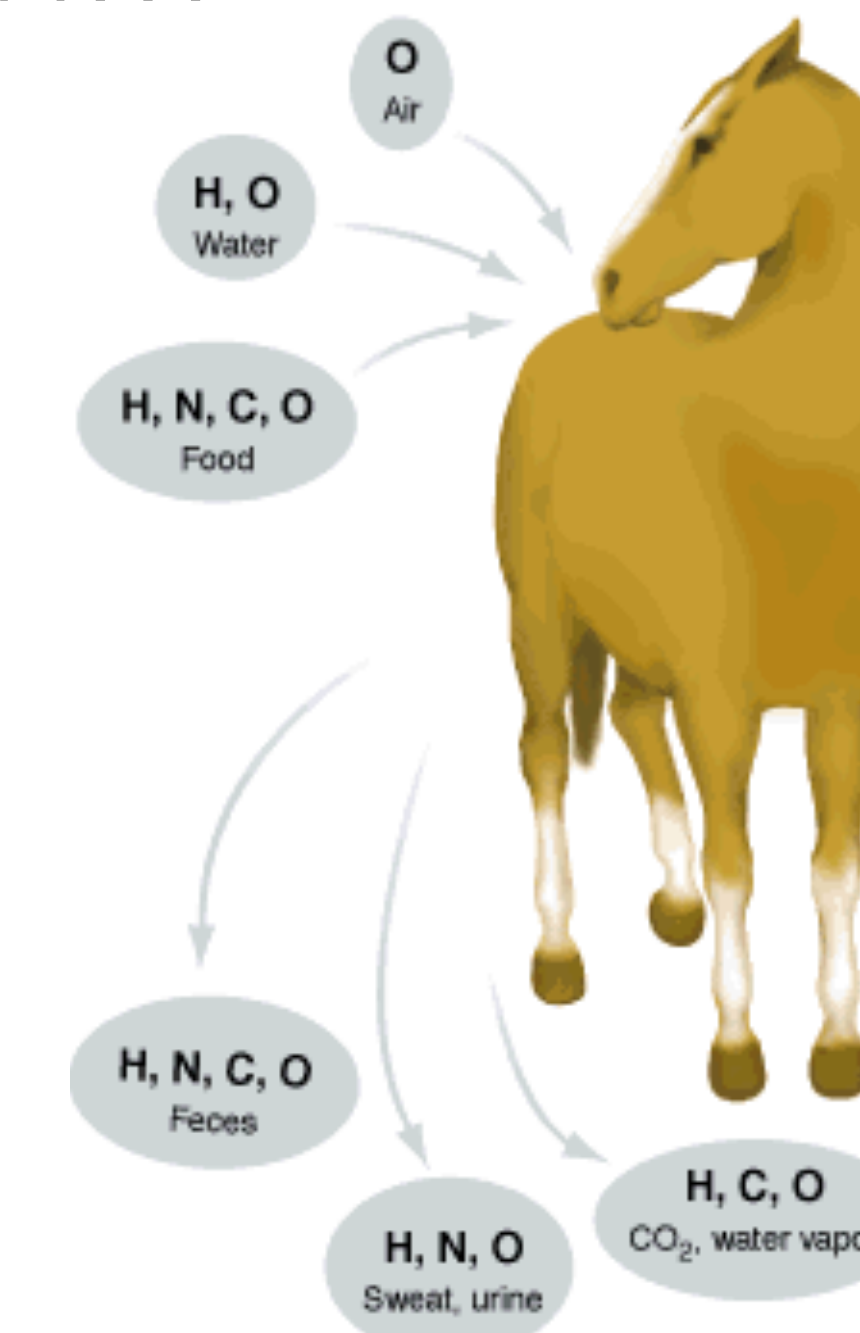
- ▶ Alta incertidumbre - sin SCA
- ▶ Elevado costo para continua eva.

ENTENDIENDO SIA EN ECOLOGÍA TRÓFICA

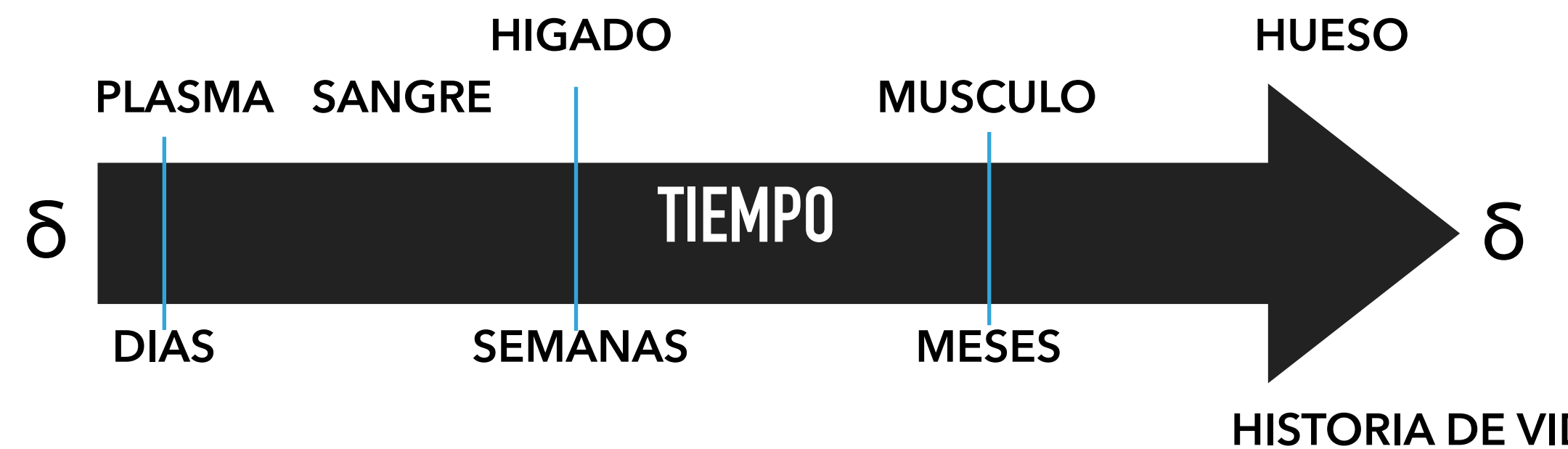
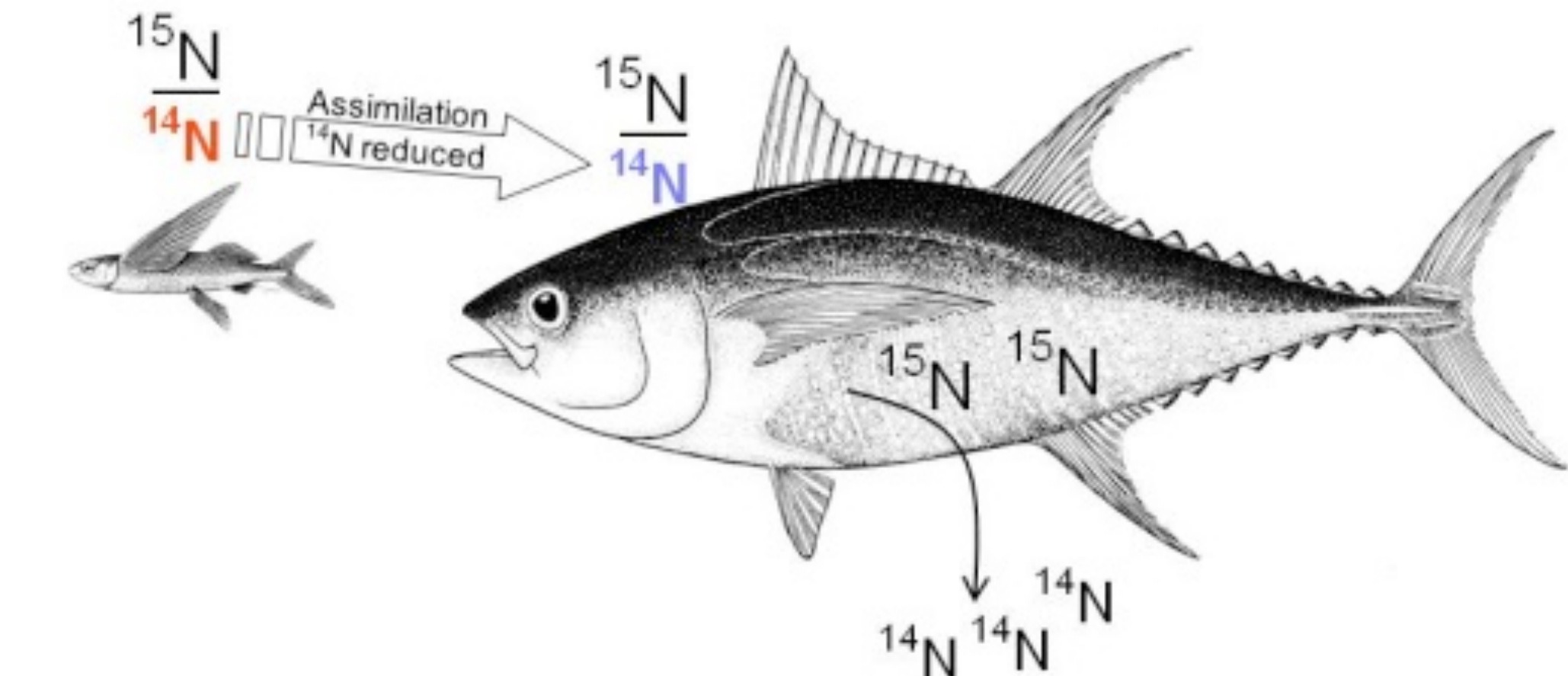
4



Kohn 1999

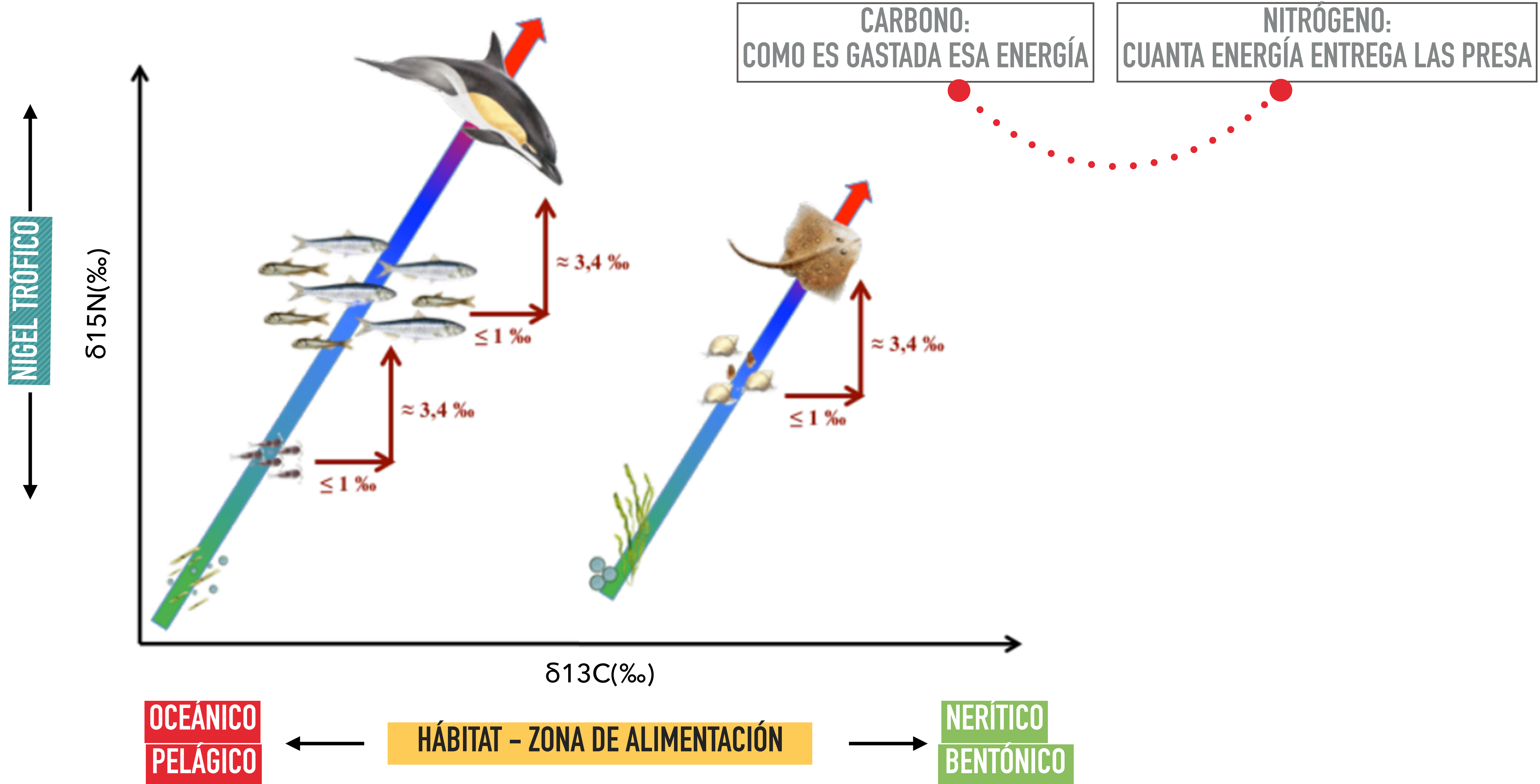


$$\delta^{15}\text{N}_{\text{predator}} = 3.0 + \delta^{15}\text{N}_{\text{prey}} (\text{\textperthousand})$$

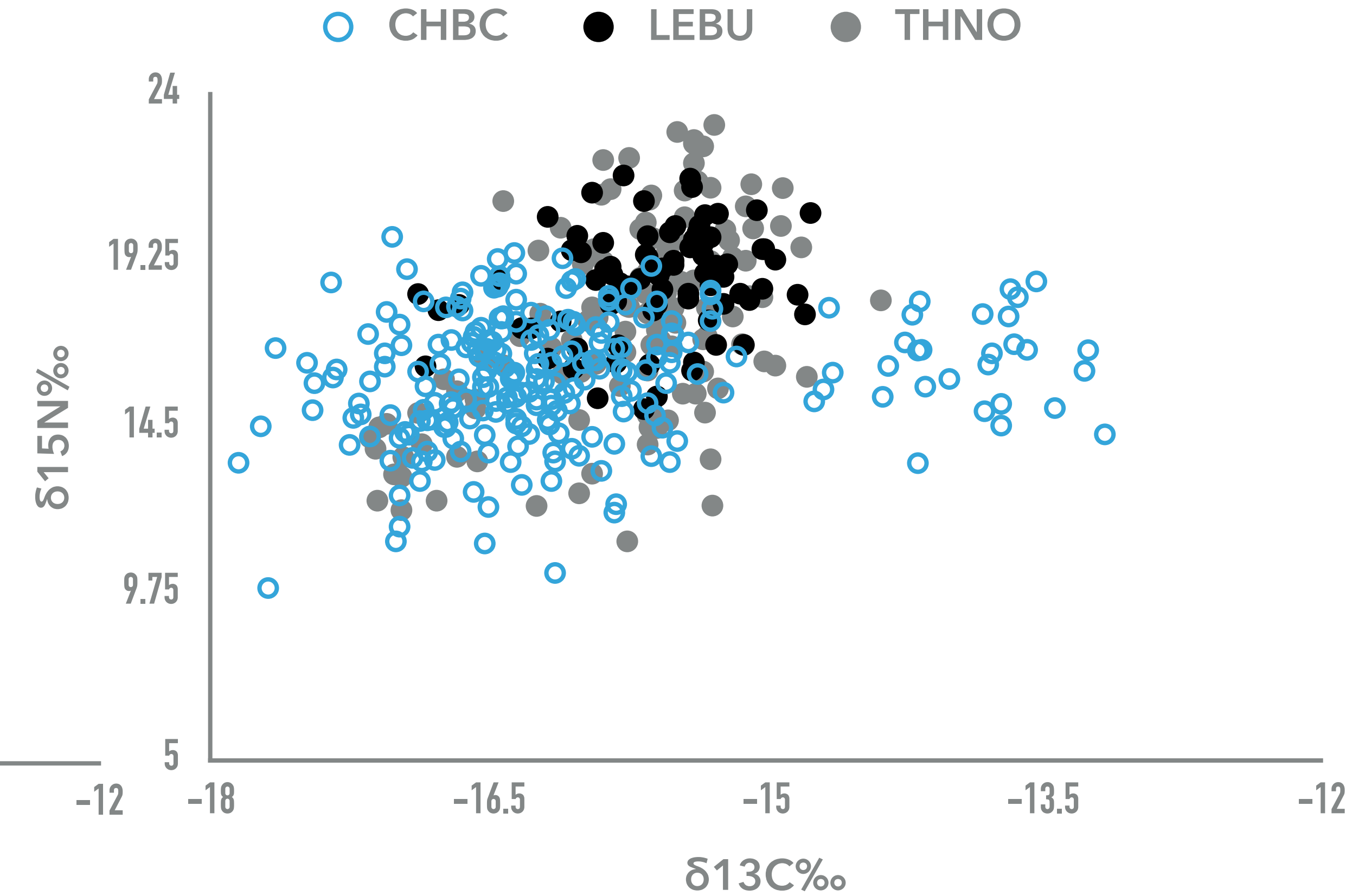
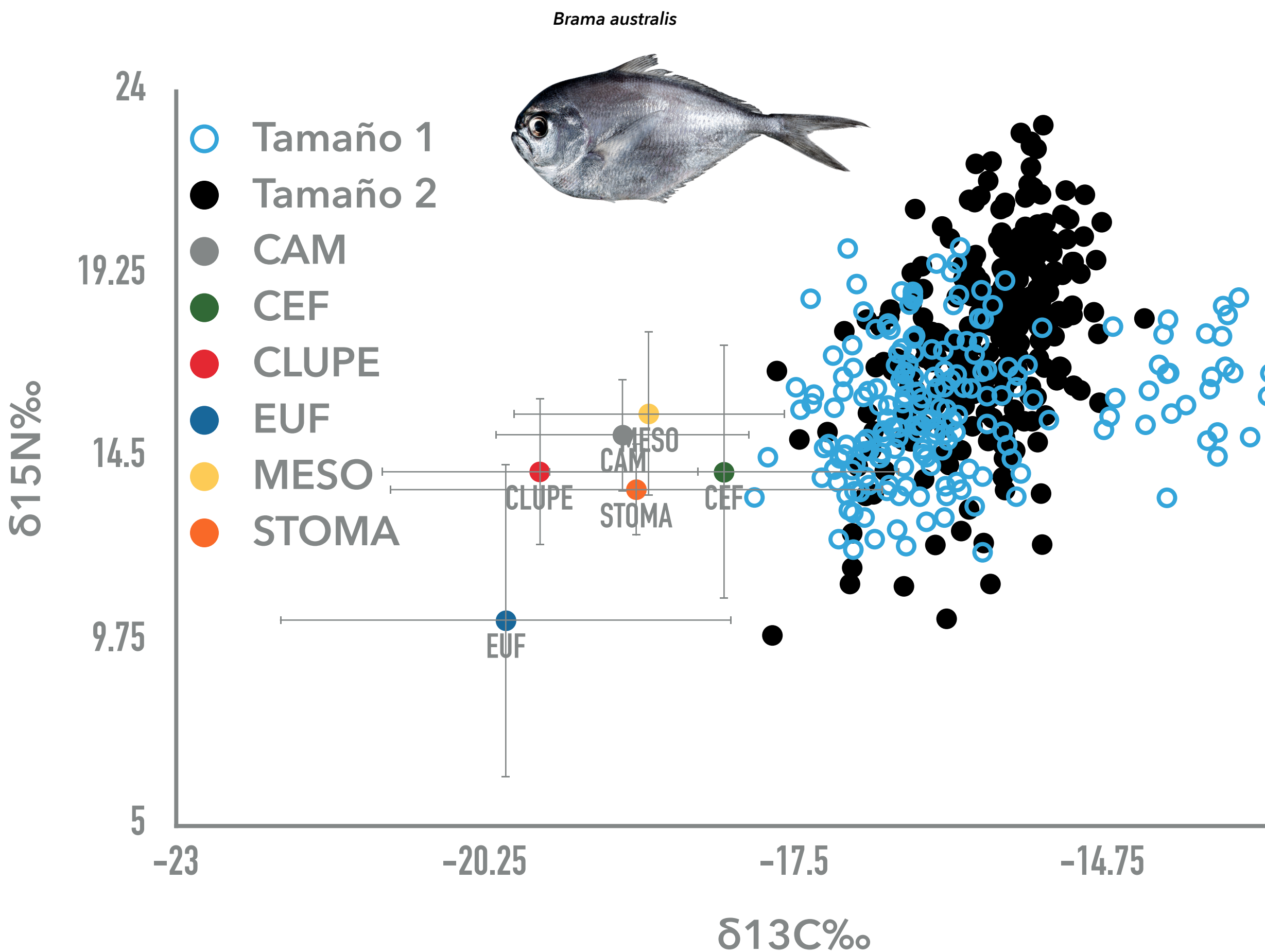
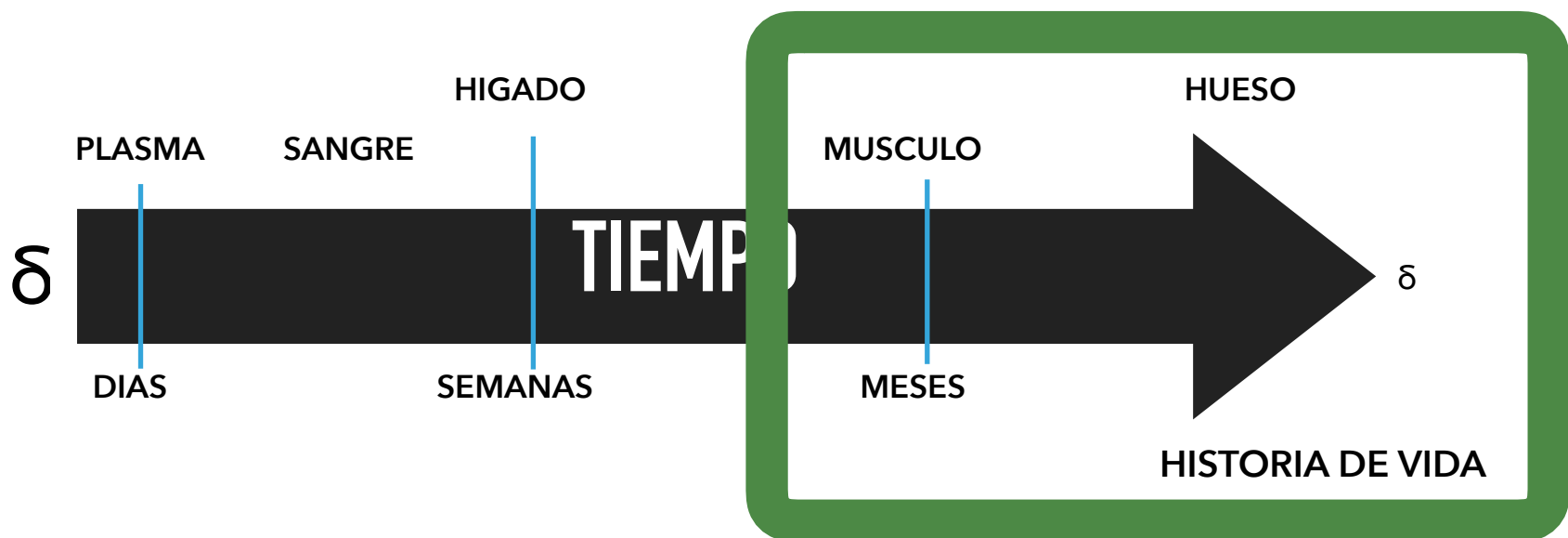


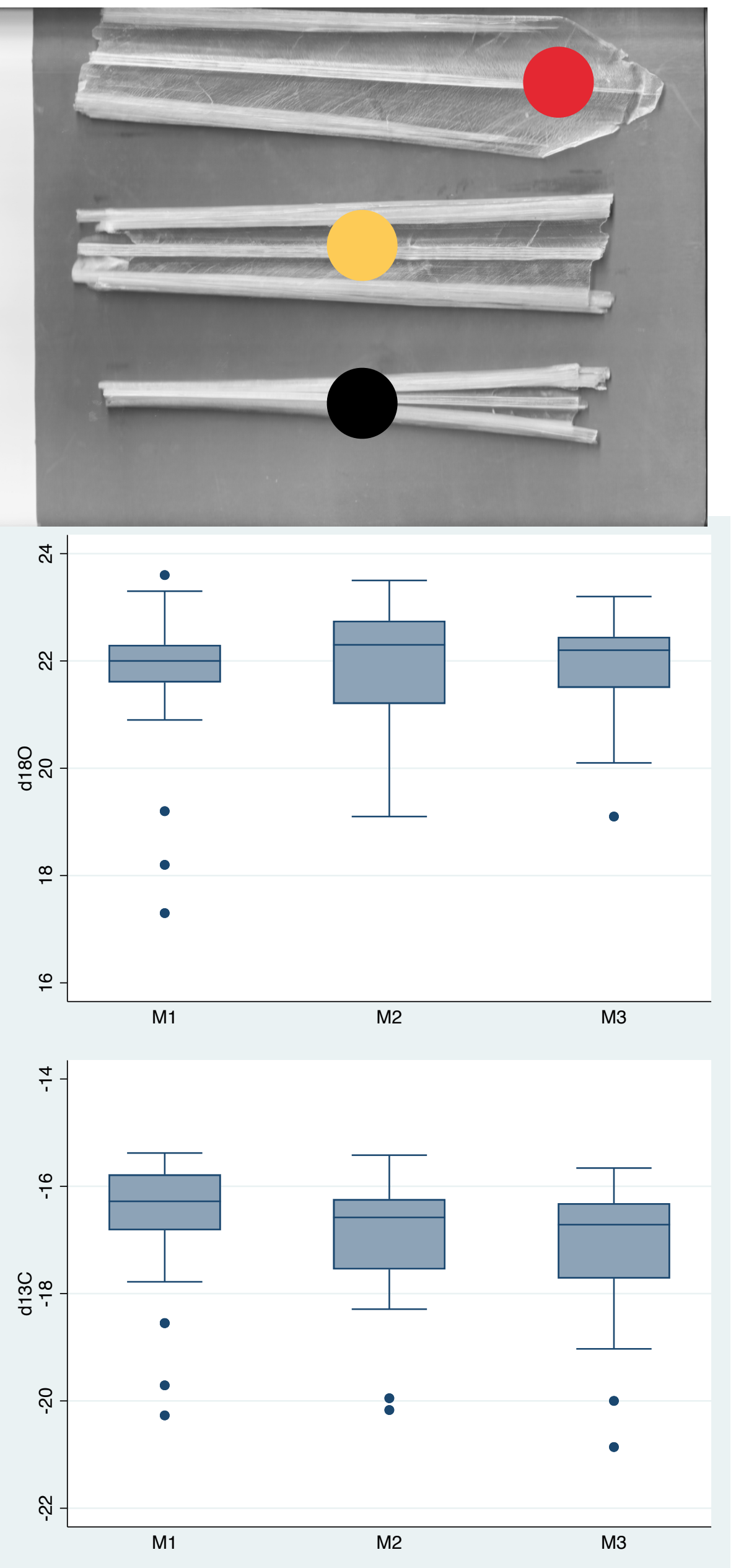
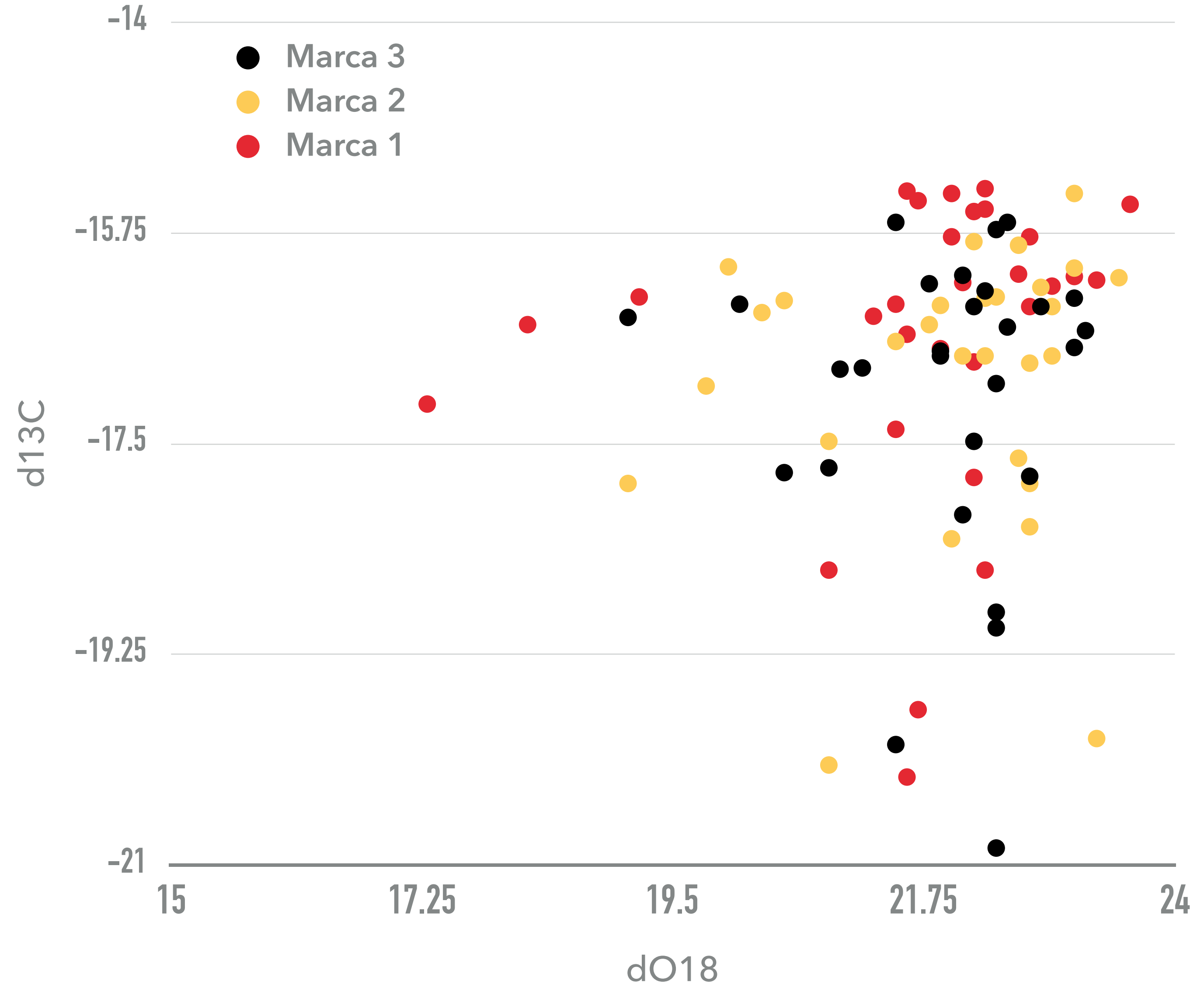
PRESA CONSUMIDA POR EL PREDATOR + PRESA ES ASIMILADA POR EL PREDADOR.

=
EL VALOR DE SIA DE PREDADOR, REFLEJA LA "SEÑAL" ISOTÓPICA DE LA PRESA



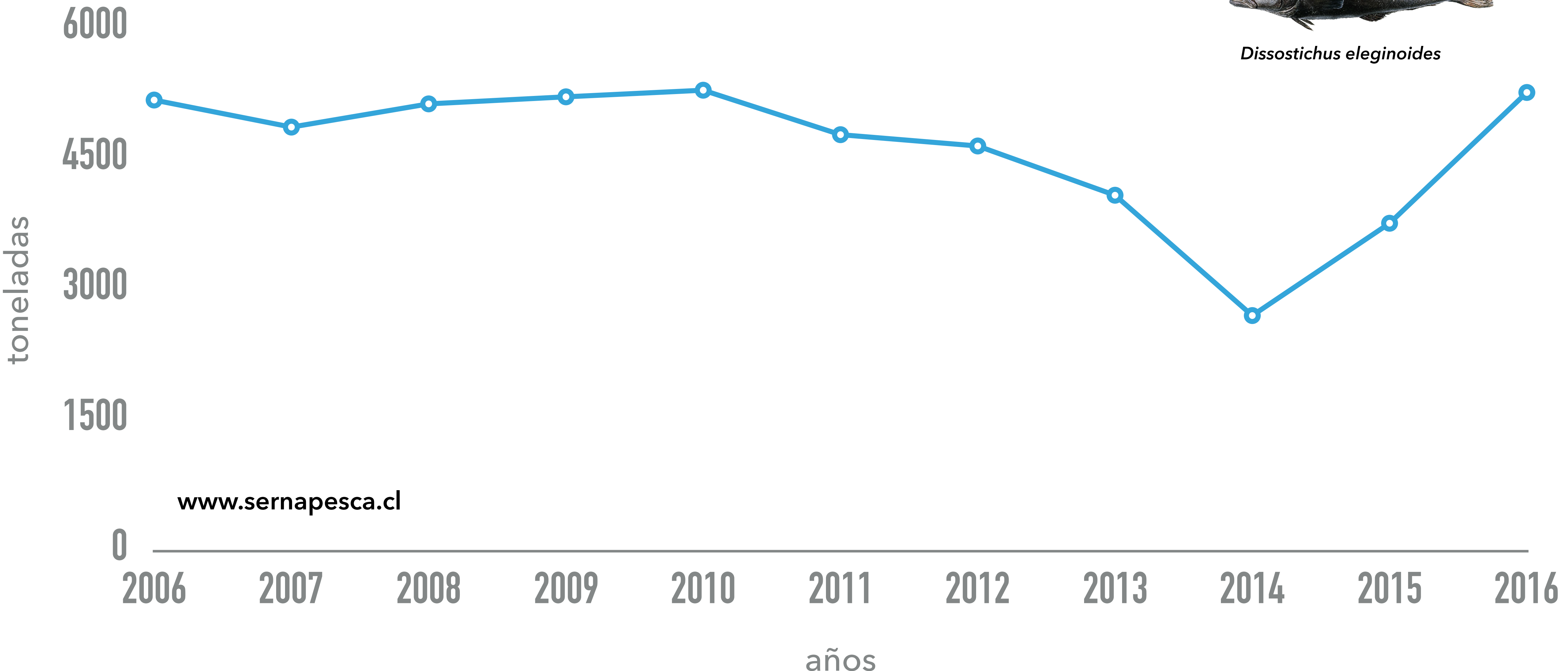
EJEMPLOS





BACALAO

CAPTURAS



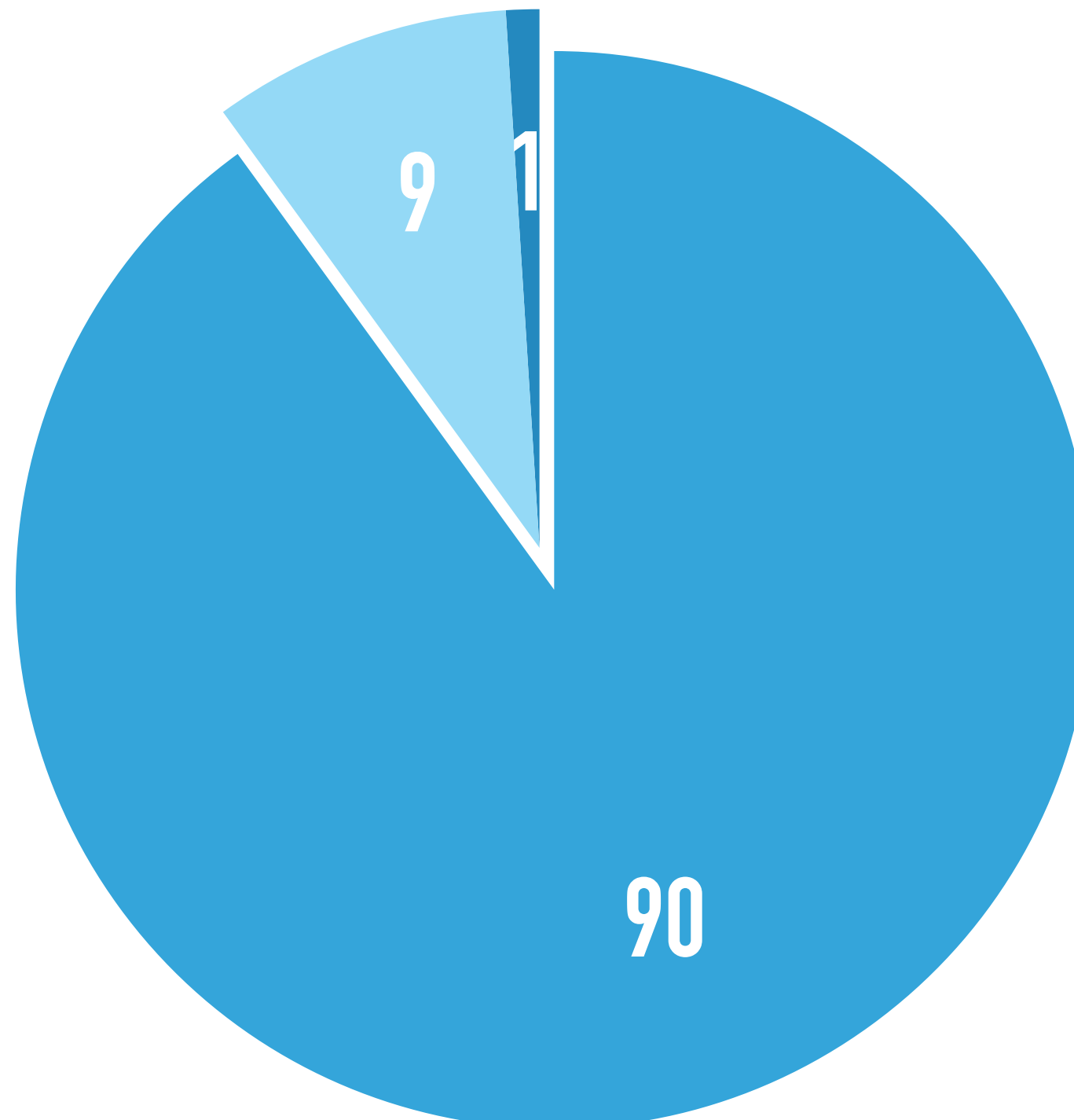
Dissostichus eleginoides

ALIMENTACIÓN



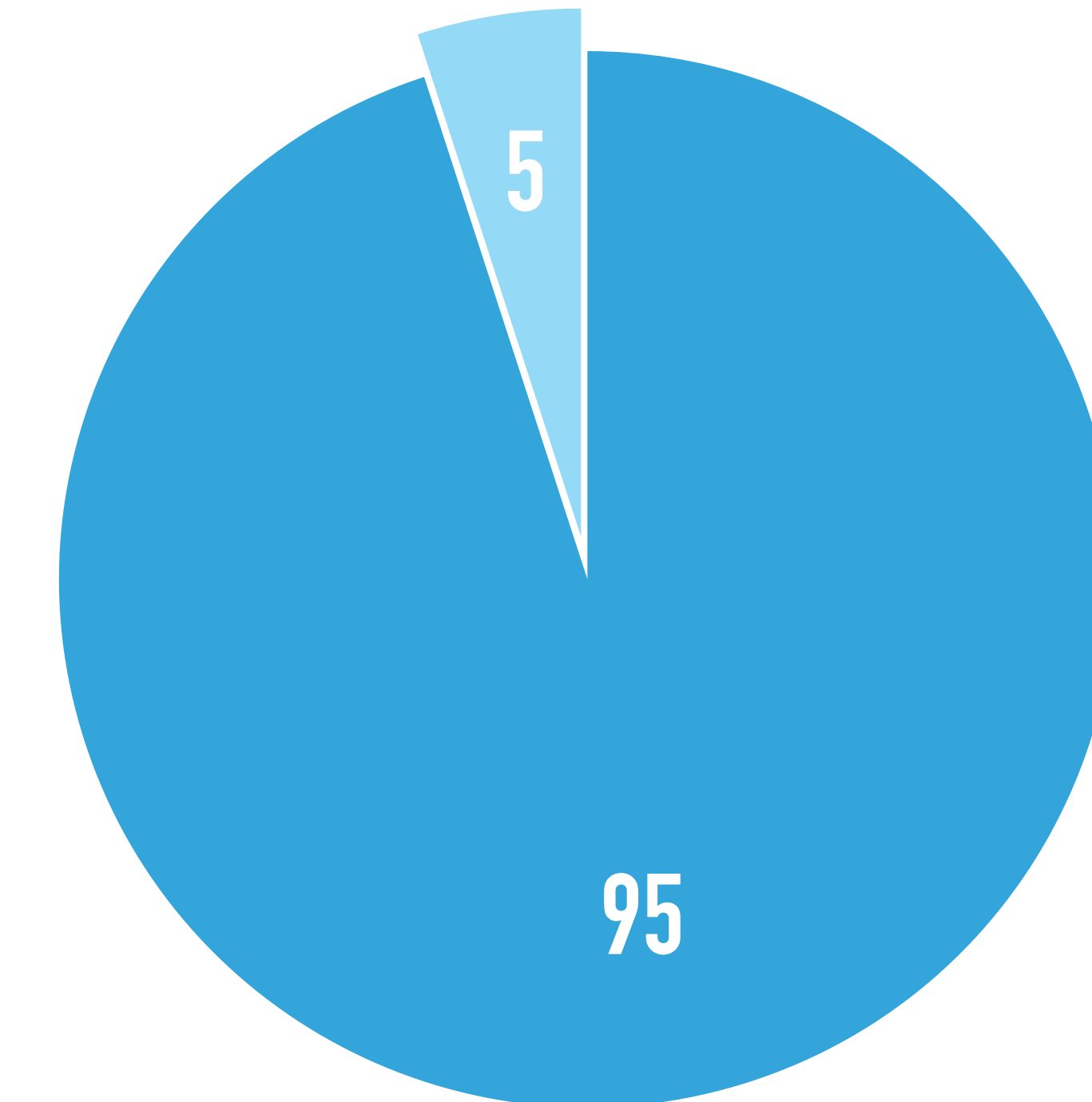
MURILLO ET AL. 2008

- Peces oseos
- Cefalopodos
- Crustaceos



ARKHIPKIN ET AL. 2003

- Peces oseos
- otros



Oxygen and carbon stable isotopes in otoliths record spatial isolation of Patagonian toothfish (*Dissostichus eleginoides*)

Julian Ashford *, Cynthia Jones

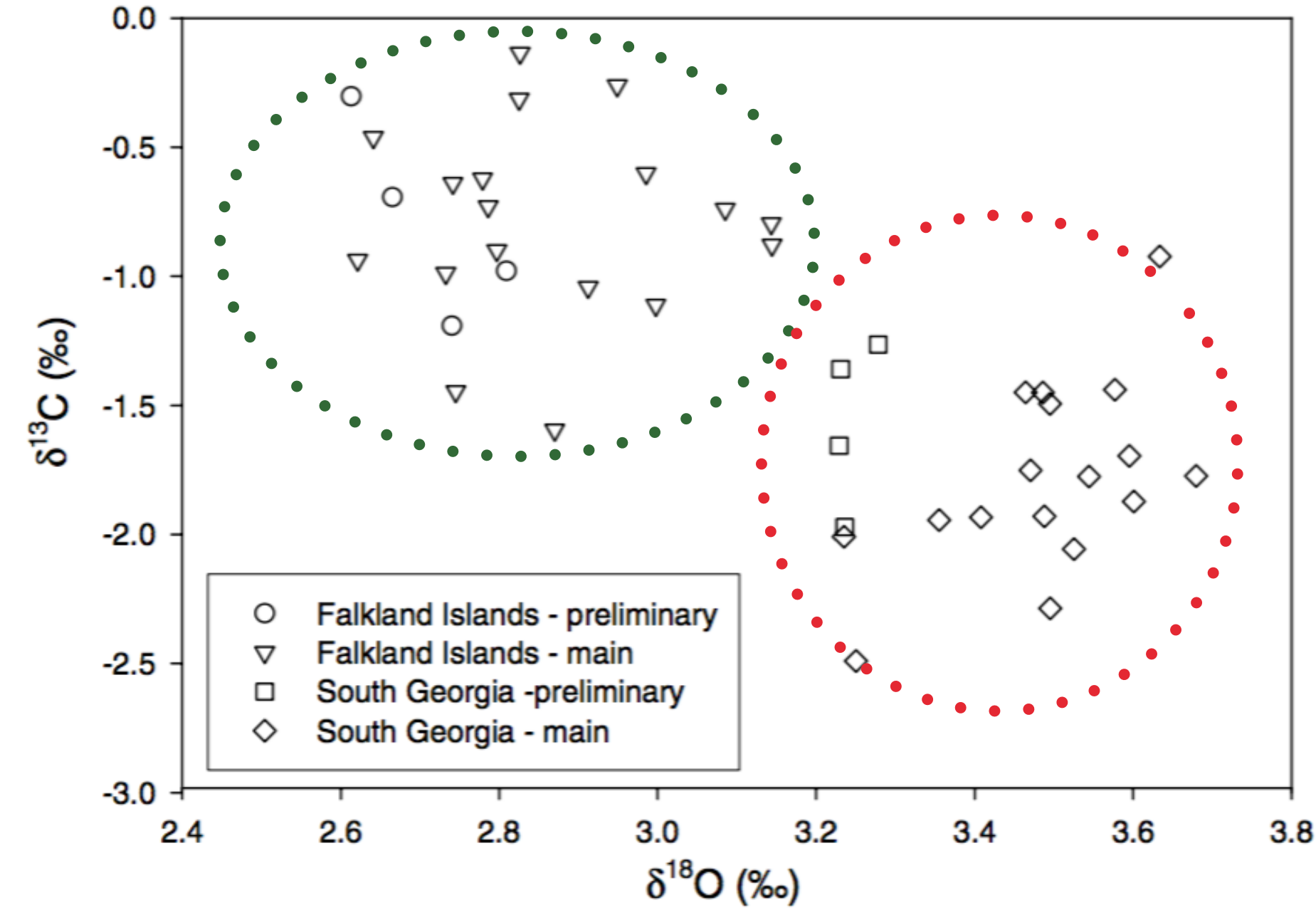
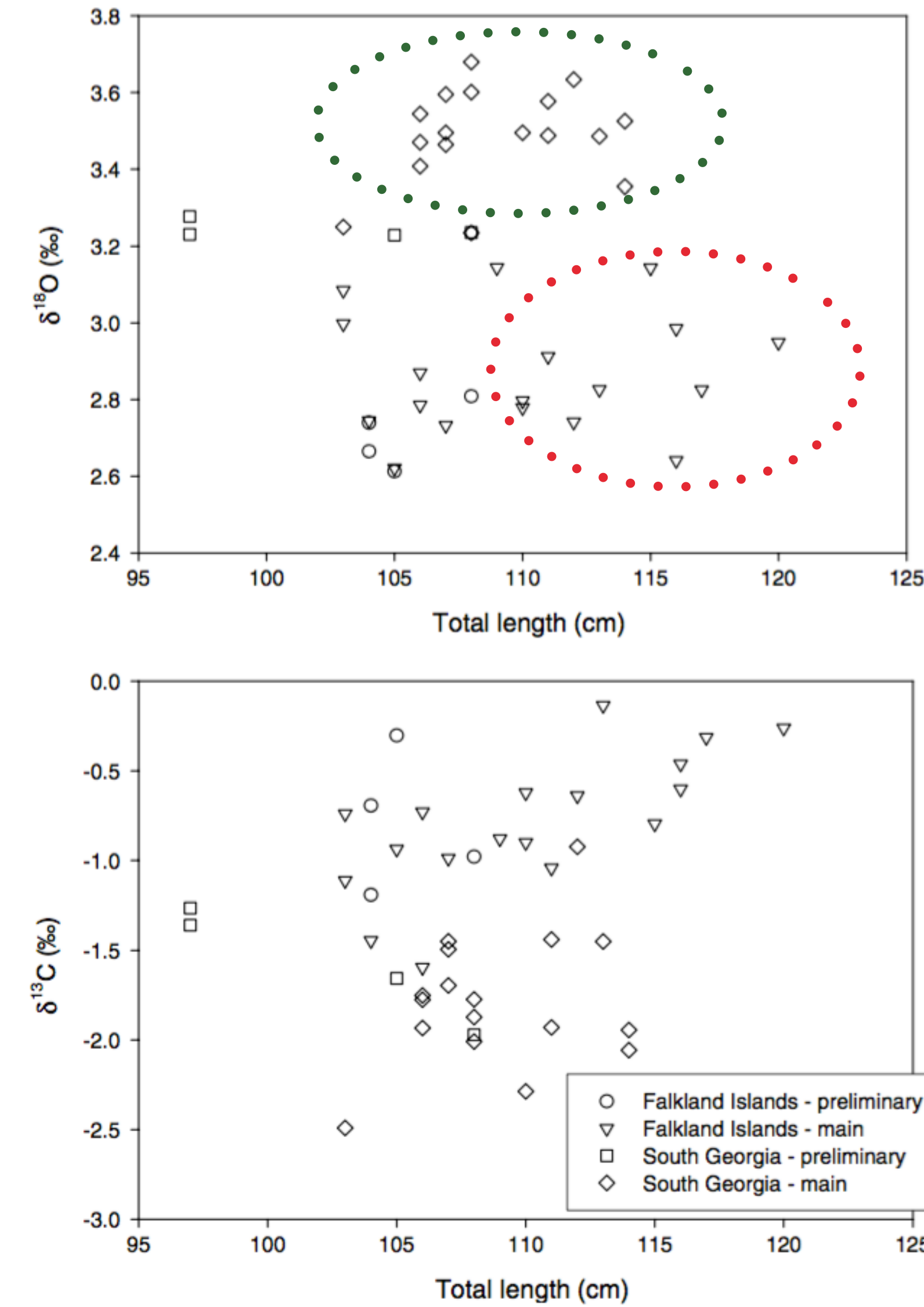


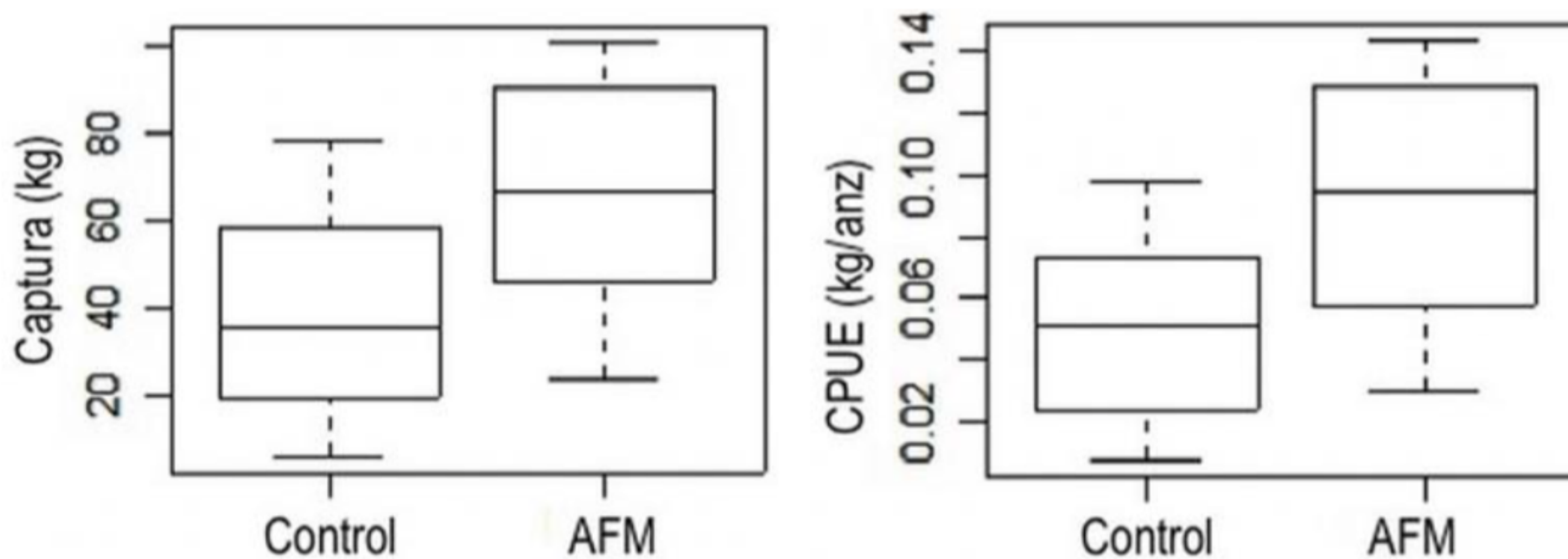
Fig. 2. Stable isotope values found in whole otoliths of Patagonian toothfish captured off the Patagonian Shelf and South Georgia ($n_{\text{PS}} = 22$, $n_{\text{SG}} = 21$).



Research Article

¿Las áreas de filtración de metano constituyen zonas de agregación del bacalao de profundidad (*Dissostichus eleginoides*) frente a Chile central?

Javier Sellanes^{1, 2*}, Milton J. Pedraza-García^{3, 4} & Germán Zapata-Hernández¹



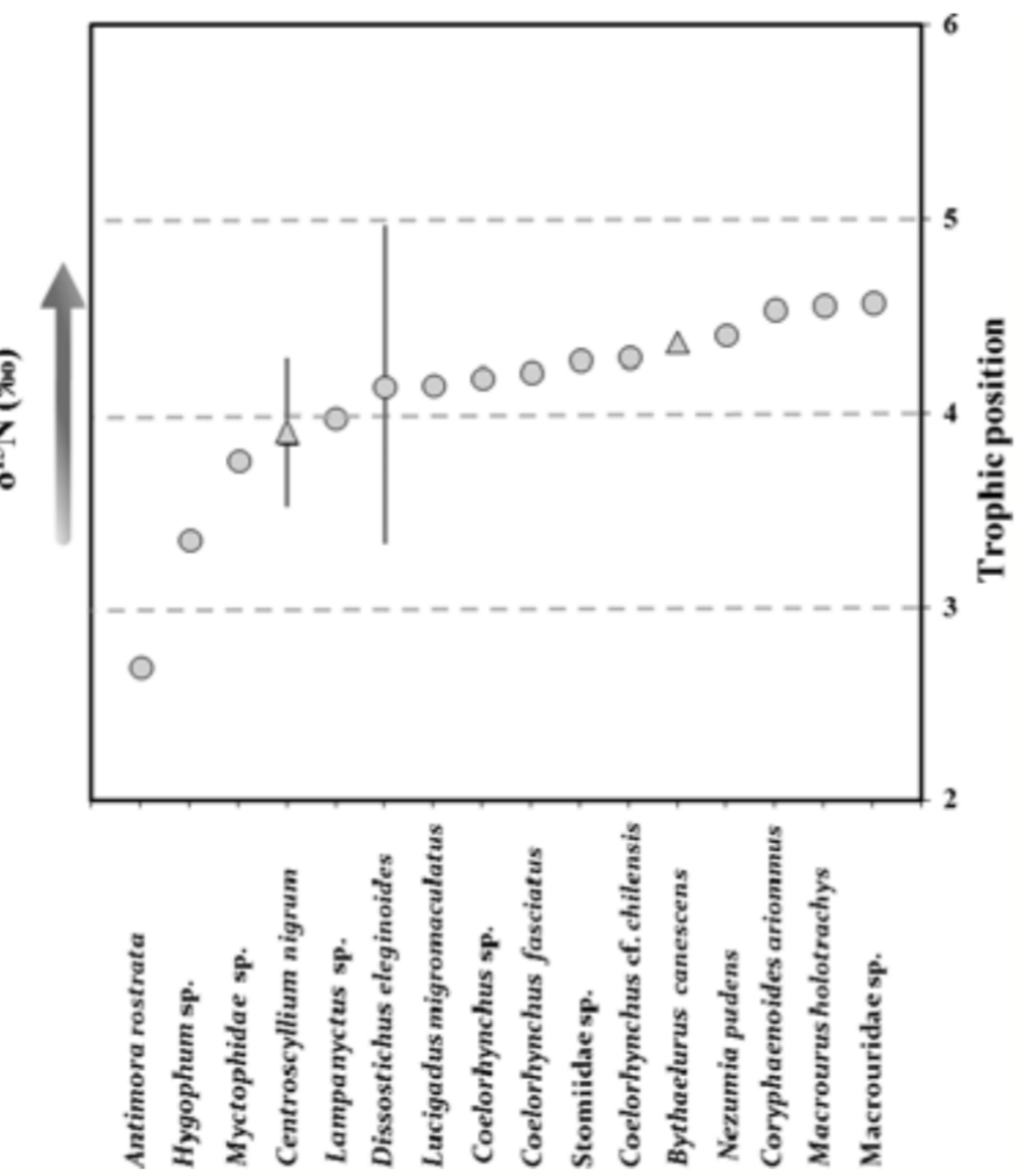
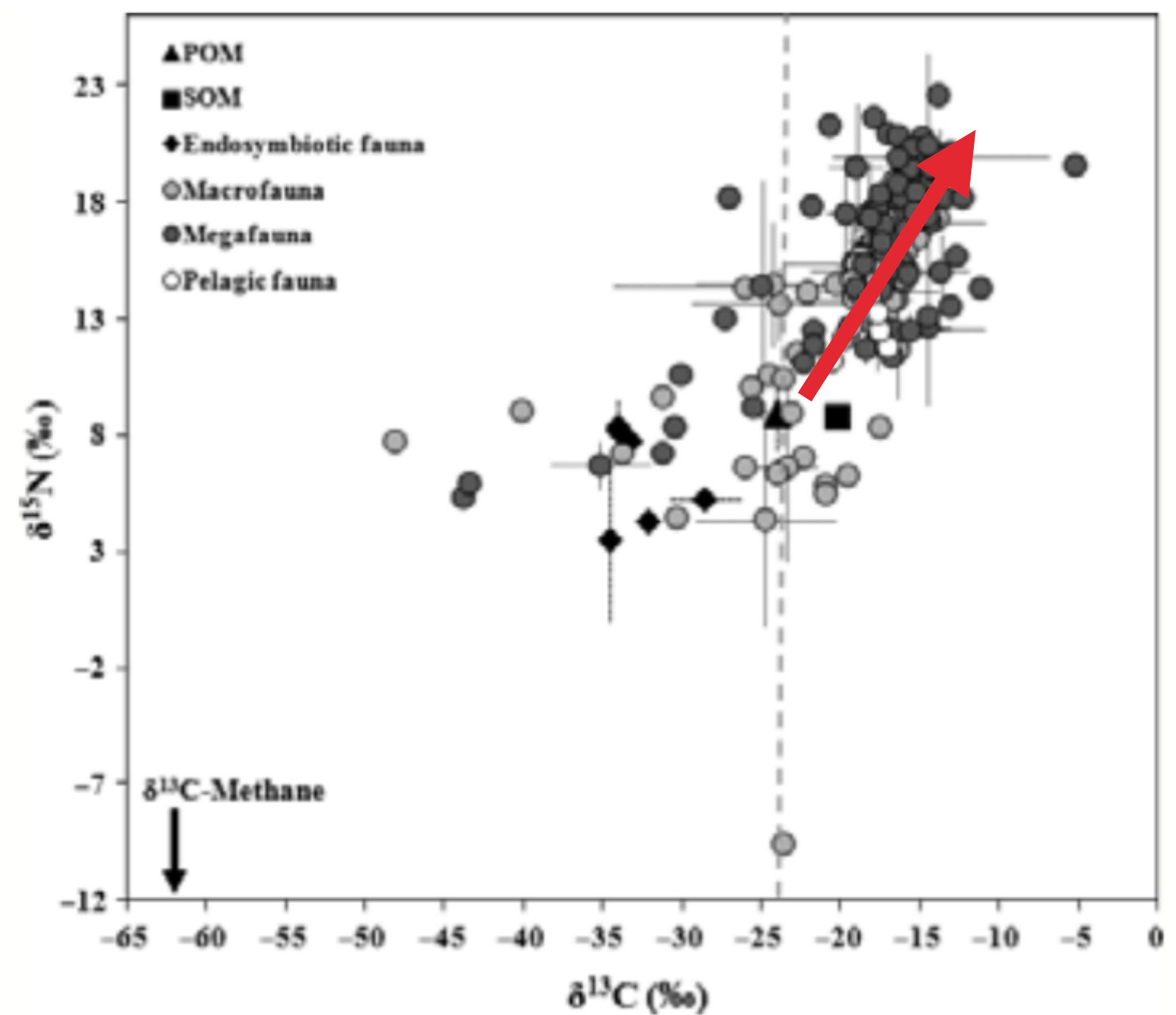
SE DEBE A QUE PROBABLEMENTE LAS PRESAS DE BACALAO ENCUENTREN MAYOR REFUGIO EN ESTAS ÁREAS. Y POR ENDE LOS BACALAO TIENDEN A AGRUPARSE EN ESTAS ÁREAS COMO ZONAS DE ALIMENTACIÓN



ORIGINAL ARTICLE

New insights on the trophic ecology of bathyal communities from the methane seep area off Concepción, Chile (~36° S)

Germán Zapata-Hernández¹, Javier Sellanes^{1,2}, Andrew R. Thurber³, Lisa A. Levin⁴, Frédéric Chazalon⁵ & Peter Linke⁶



OBJETIVO



**ANALIZAR LA ALIMENTACIÓN Y DETERMINAR
LA TASA DE CONSUMO DEL BACALAO DE
PROFUNDIDAD, MEDIANTE ANÁLISIS
ESTOMACALES E ISÓTOPOS ESTABLES EN LA
ZONA DEL PACÍFICO SUR AUSTRAL**

MATERIALES Y MÉTODOS

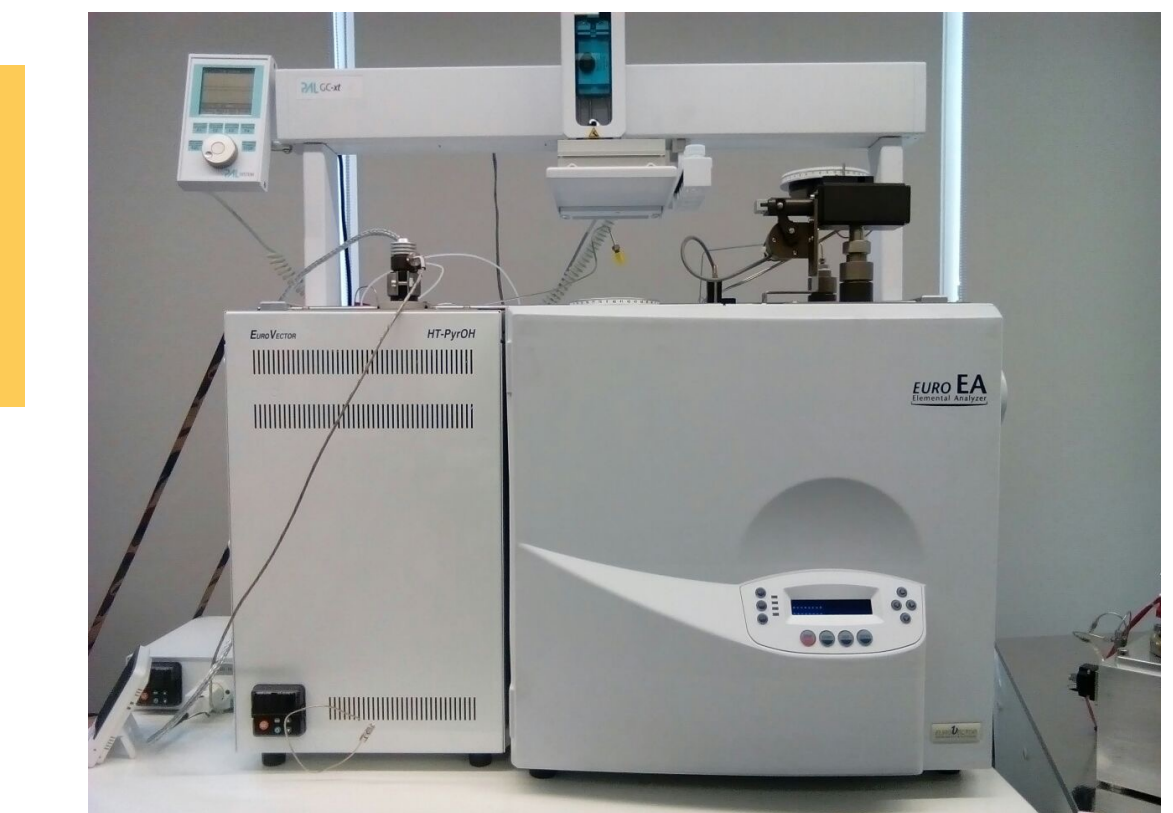
998
SCA



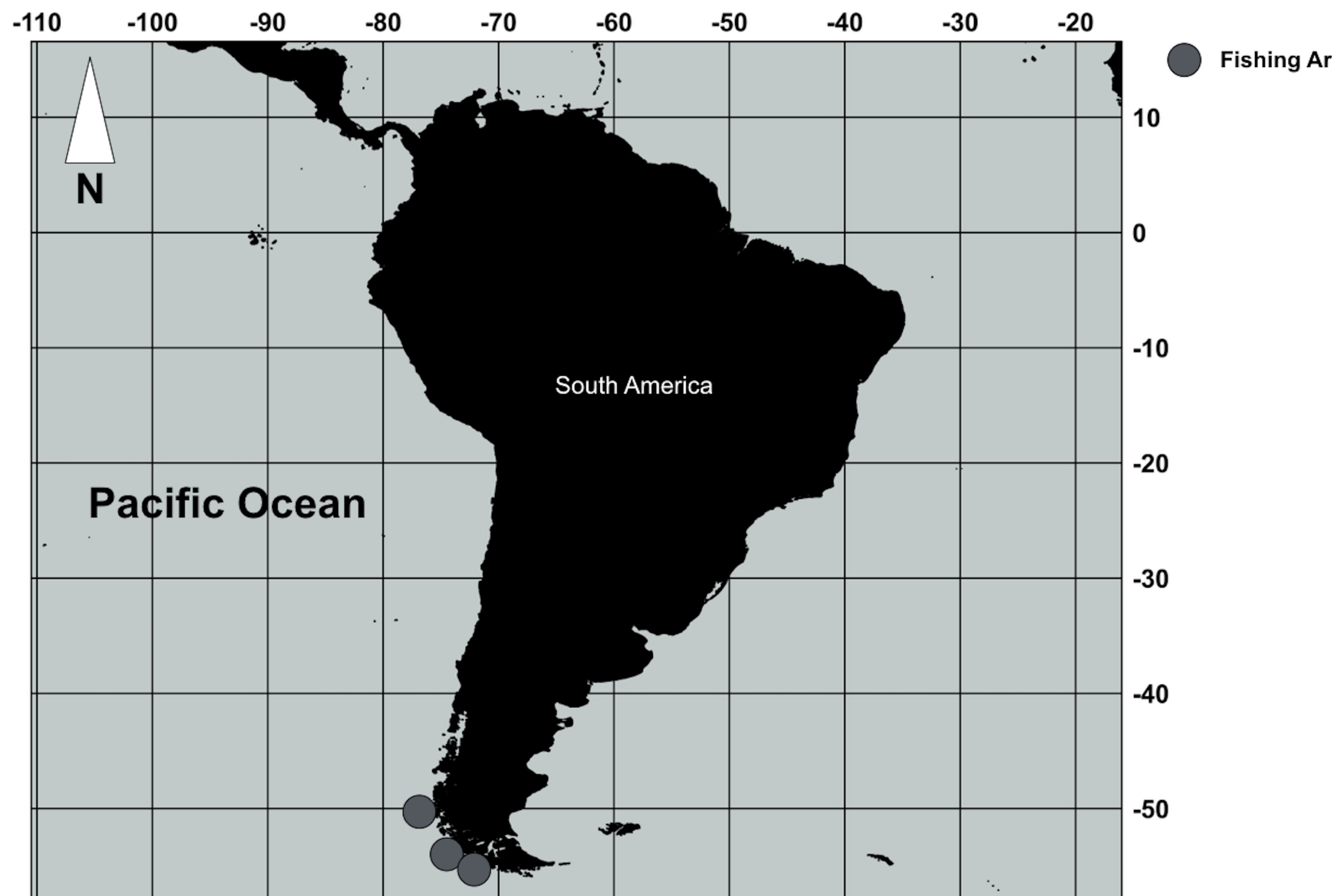
151
SIA



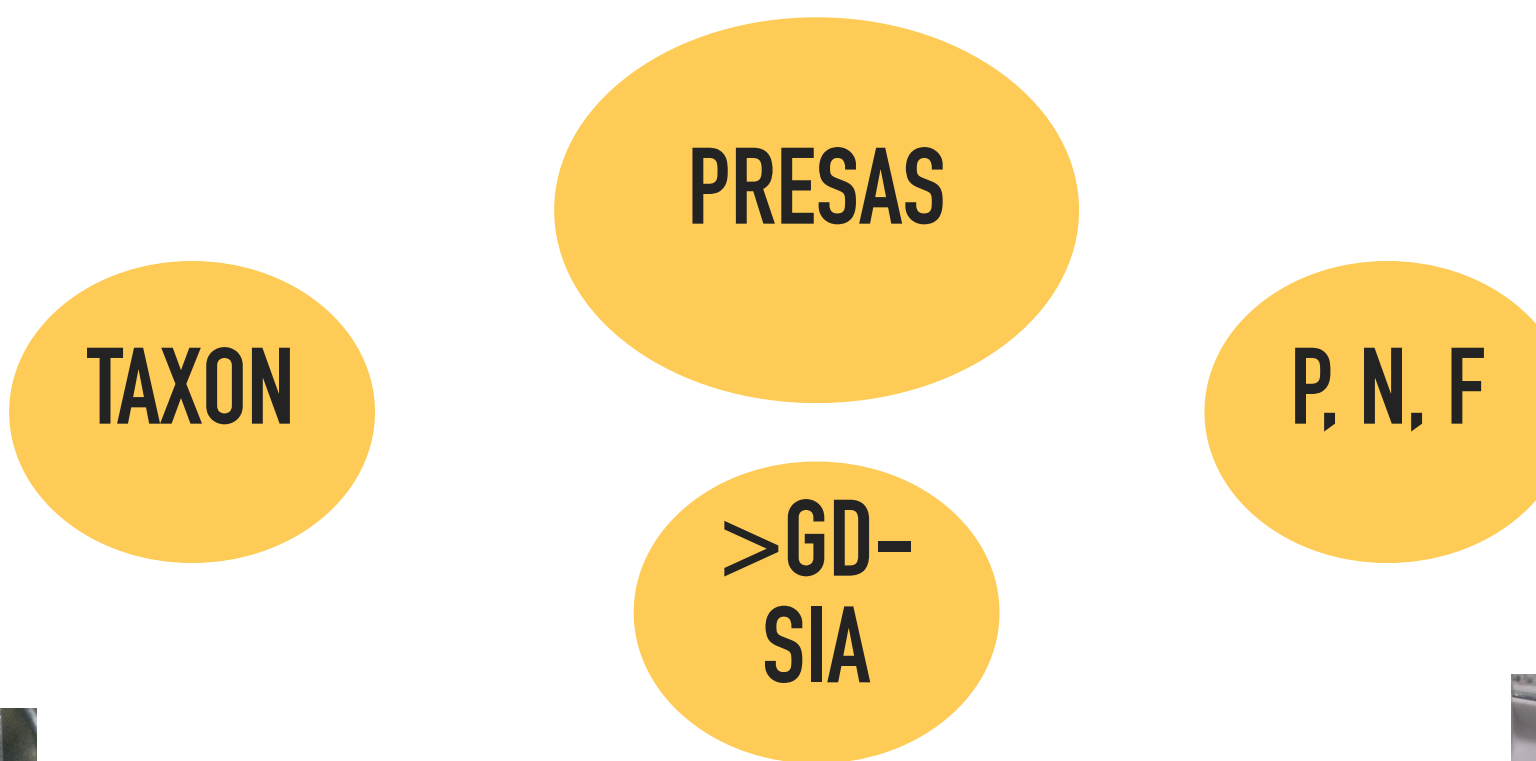
100 BACALAO +
51 PRESAS



CONGELADAS -20° SCA; 80° SIA - UNAB -



Lab. work - UNAB -



Análisis de datos

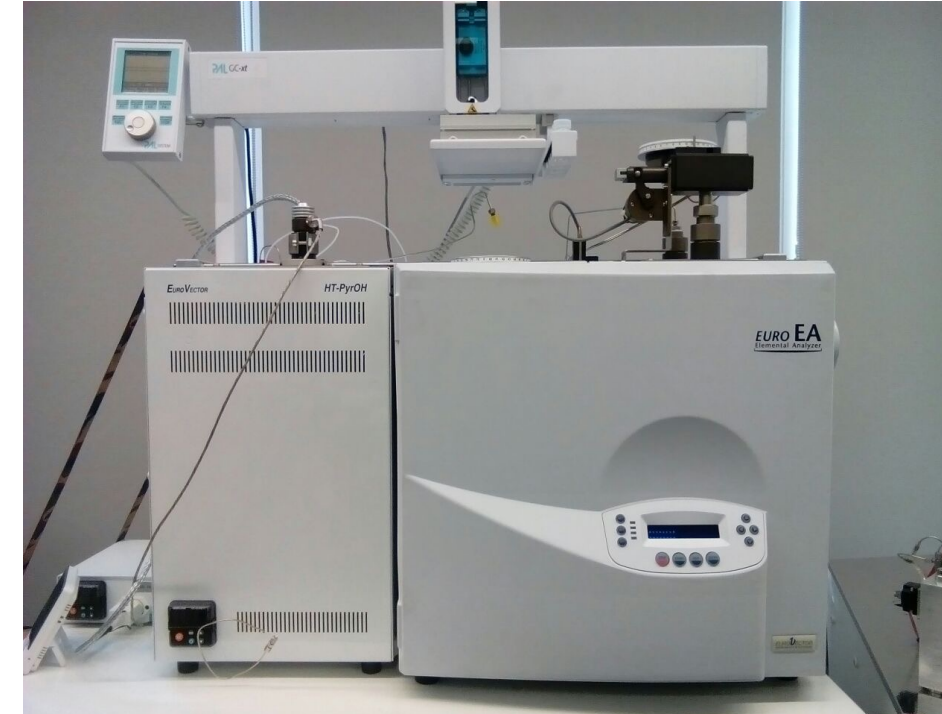
- Importancia de la presa; %PSIRI
- PERMANOVA
- W test Zar (1999)

Consumo alimento SCA

- Alimentacion frecuente Elliot & Persson (1978)
- Alimentacion intermitente Diana (1979)



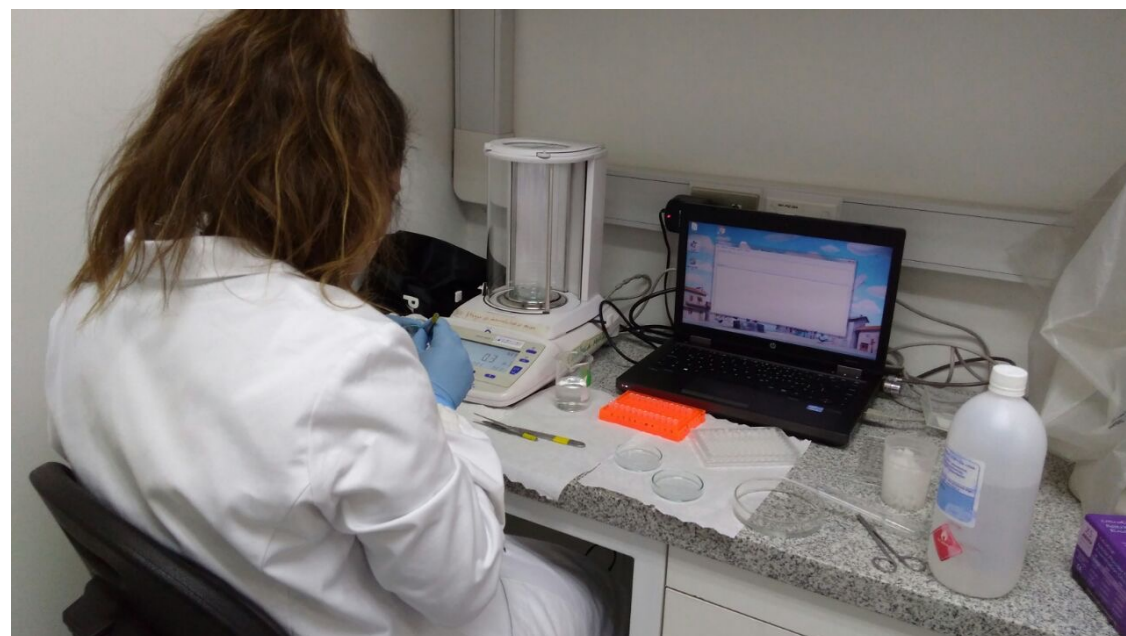
Lab. work - UNAB -



~10 MG; EX. LÍPIDOS (C:M 2:1) HUSSEY ET AL (2010)

0.4-0.6 MG LOPEZ ET AL. (2013)

13C, 15N, %CN; STANDARD: PEE DEE BELEMITA 13C Y N
ATMOSFÉRICO 15N



Analisis de datos

- MixSIAR, MCMC Stock & Semmens et al. (2013)
- Agrupacion de presas Fry (2013)
- A priori (SCA), a Klarian et al (unpublished)
- ANOVA

Consumo alimento SIA

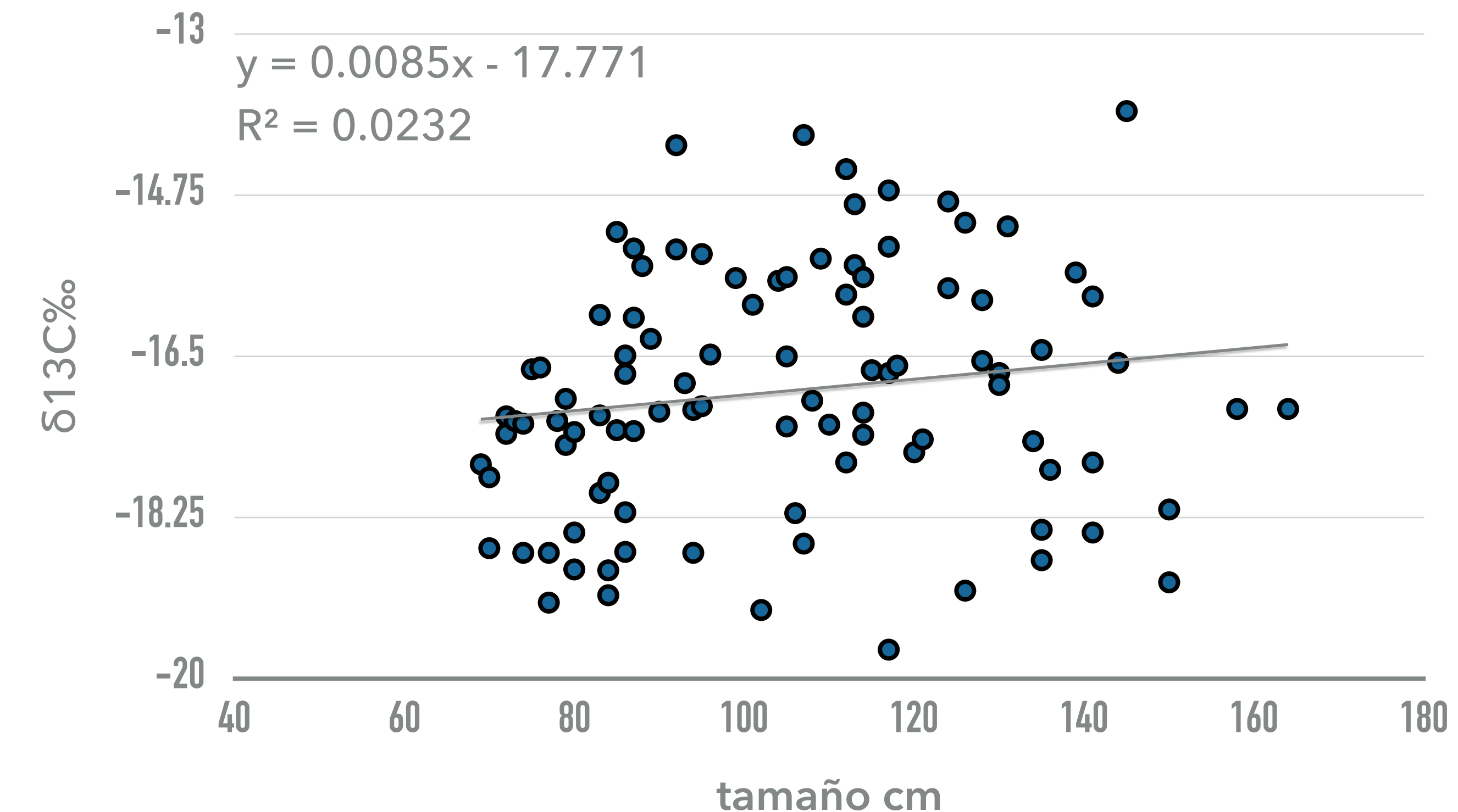
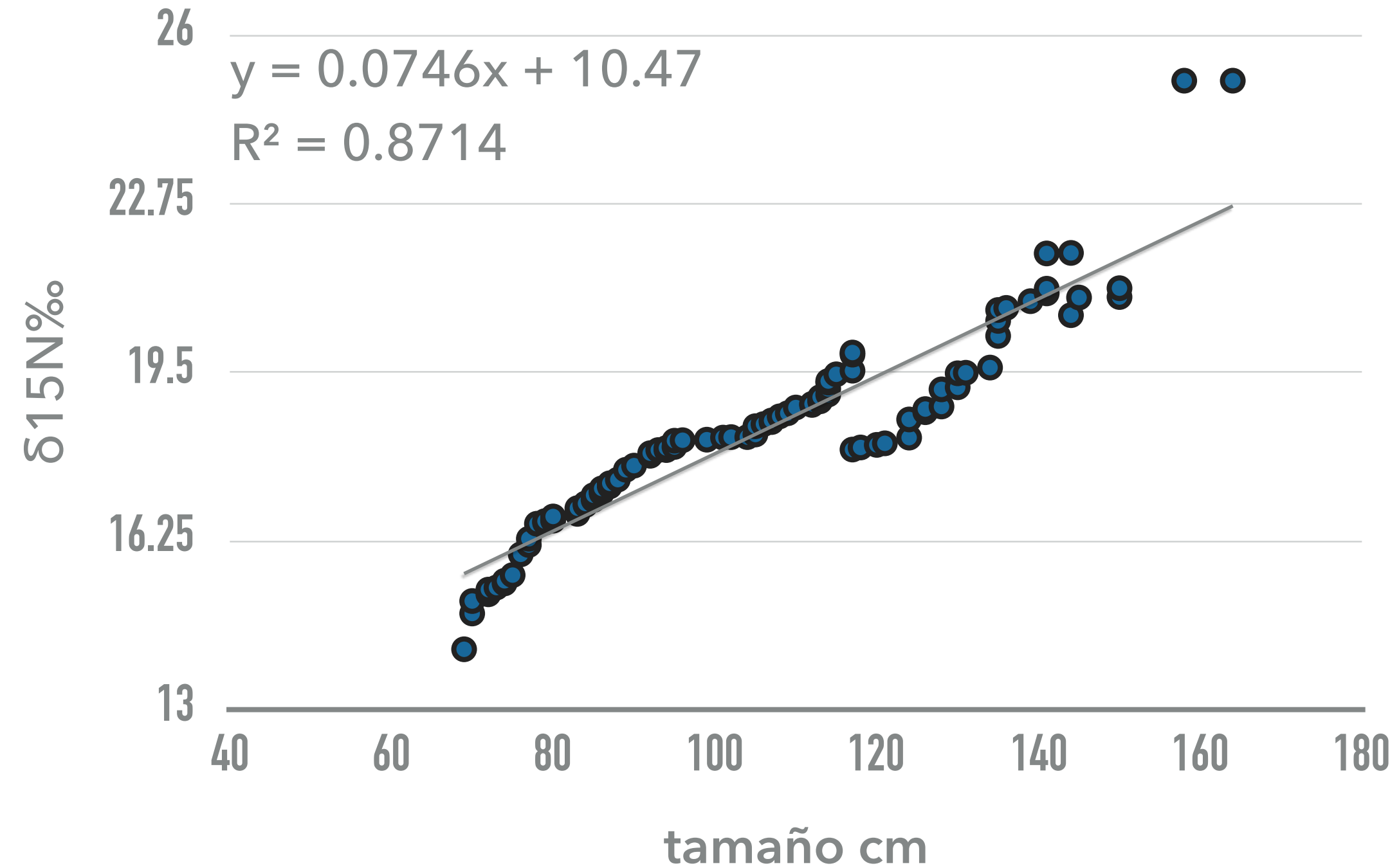
- Balance enegertico - SIA Inger et al. (2006)



RESULTADOS

17

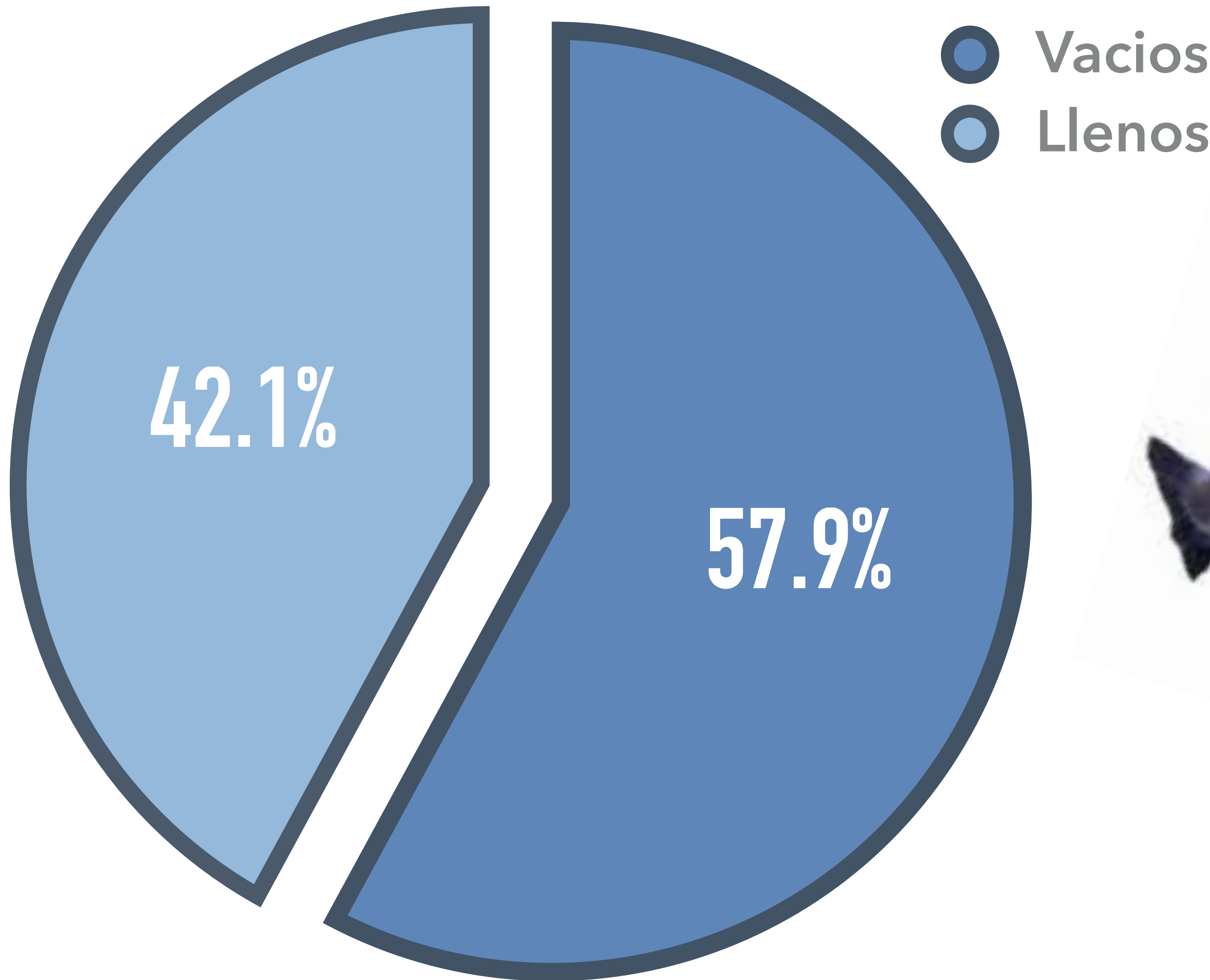
PRUEBAS; DIAGNÓSTICOS Y LÍPIDOS



**SCA INFO
98% MATCH**

RESULTADOS SCA

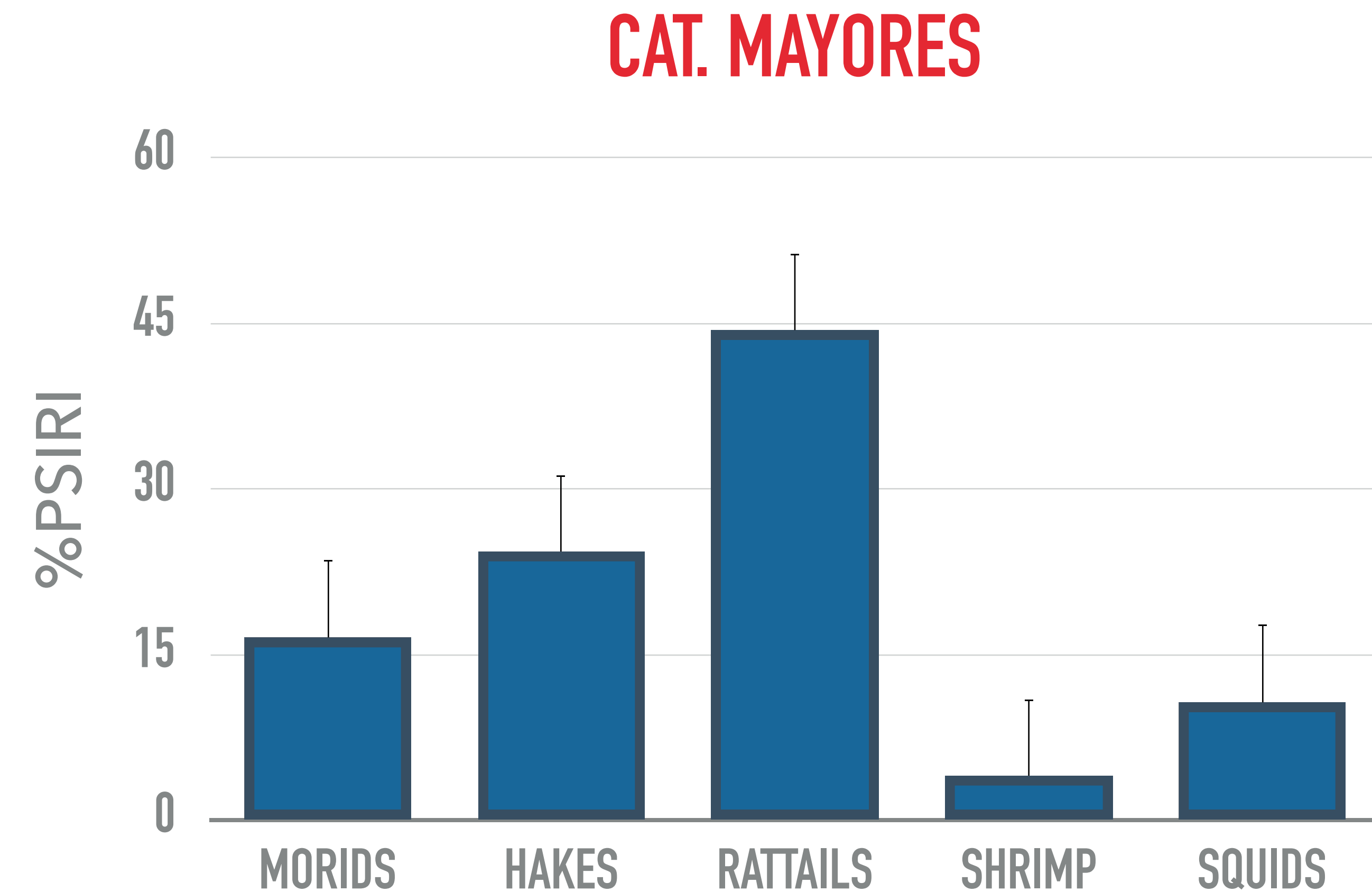
18



RESULTADOS SCA -GENERAL-

19

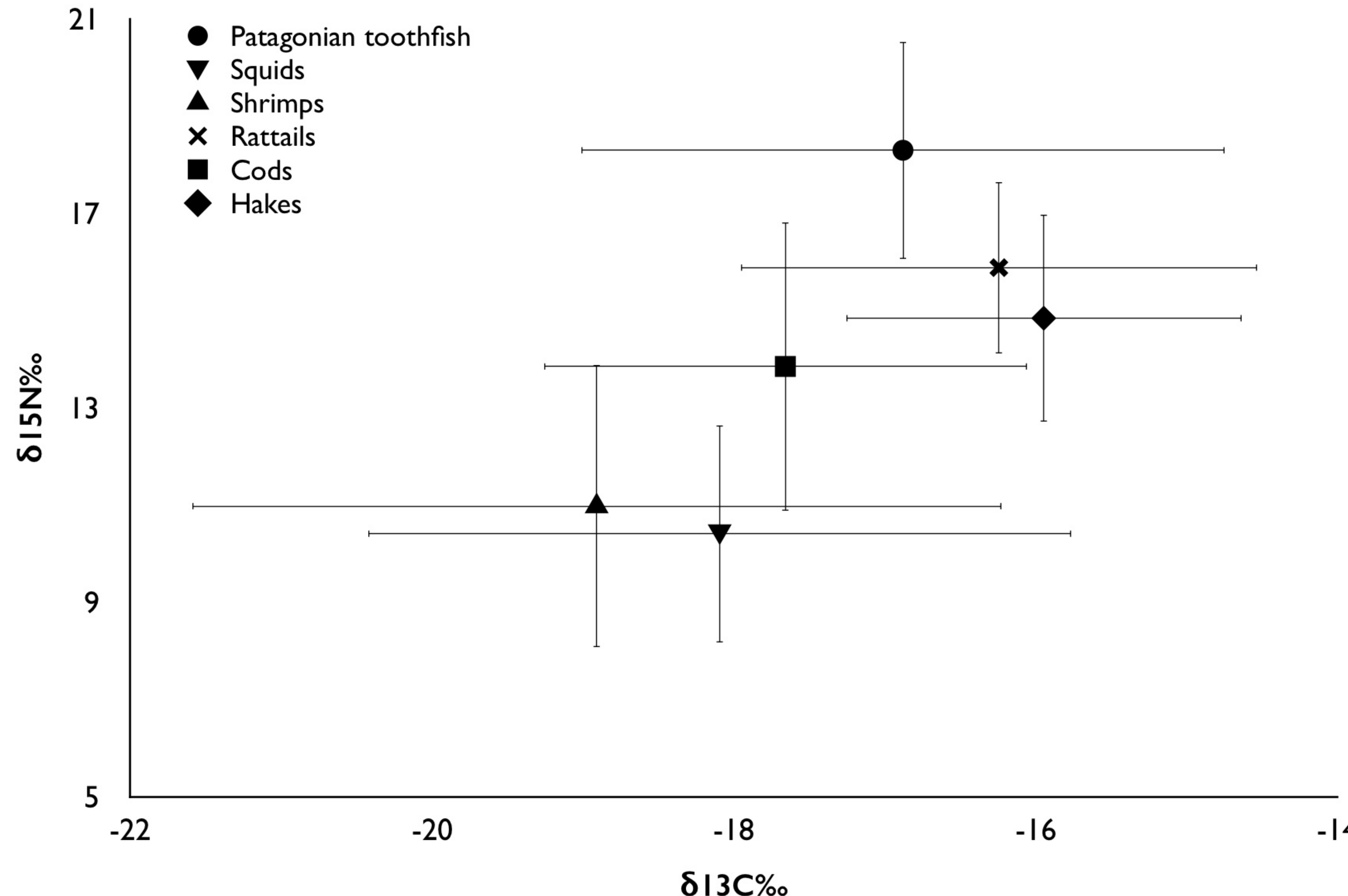
Item	N	W	FO	PSIRI	%PSIRI
Morids	66	6440	50	97.7	16.6
Hakes	55	7879	53	143.4	24.3
Rattails	19	4981	19	262.2	44.4
Shrimp	8	190	7	23.8	4.0
Squids	51	3199.8	48	62.9	10.7
Total	199	22689.8	177	589.9	100



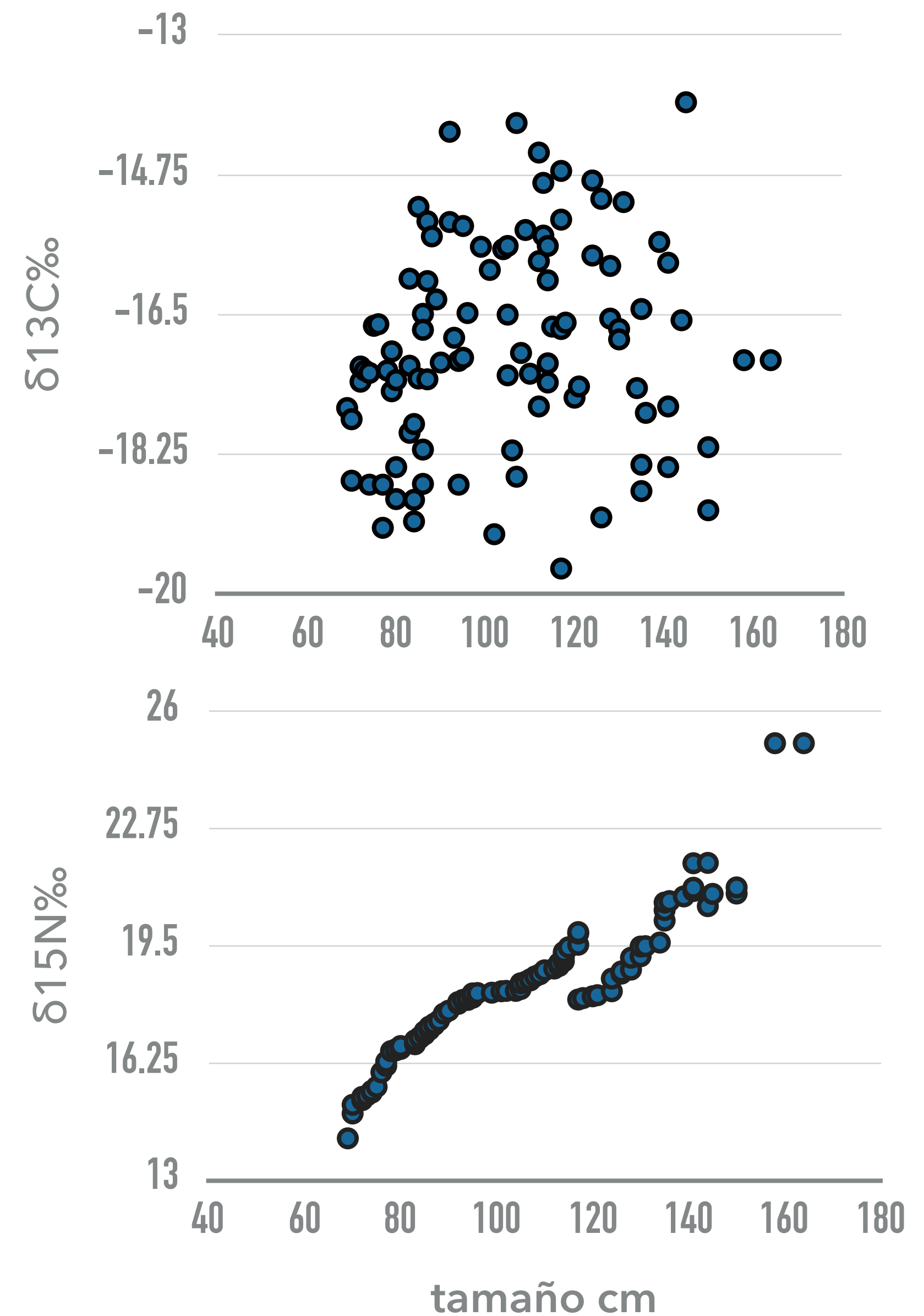
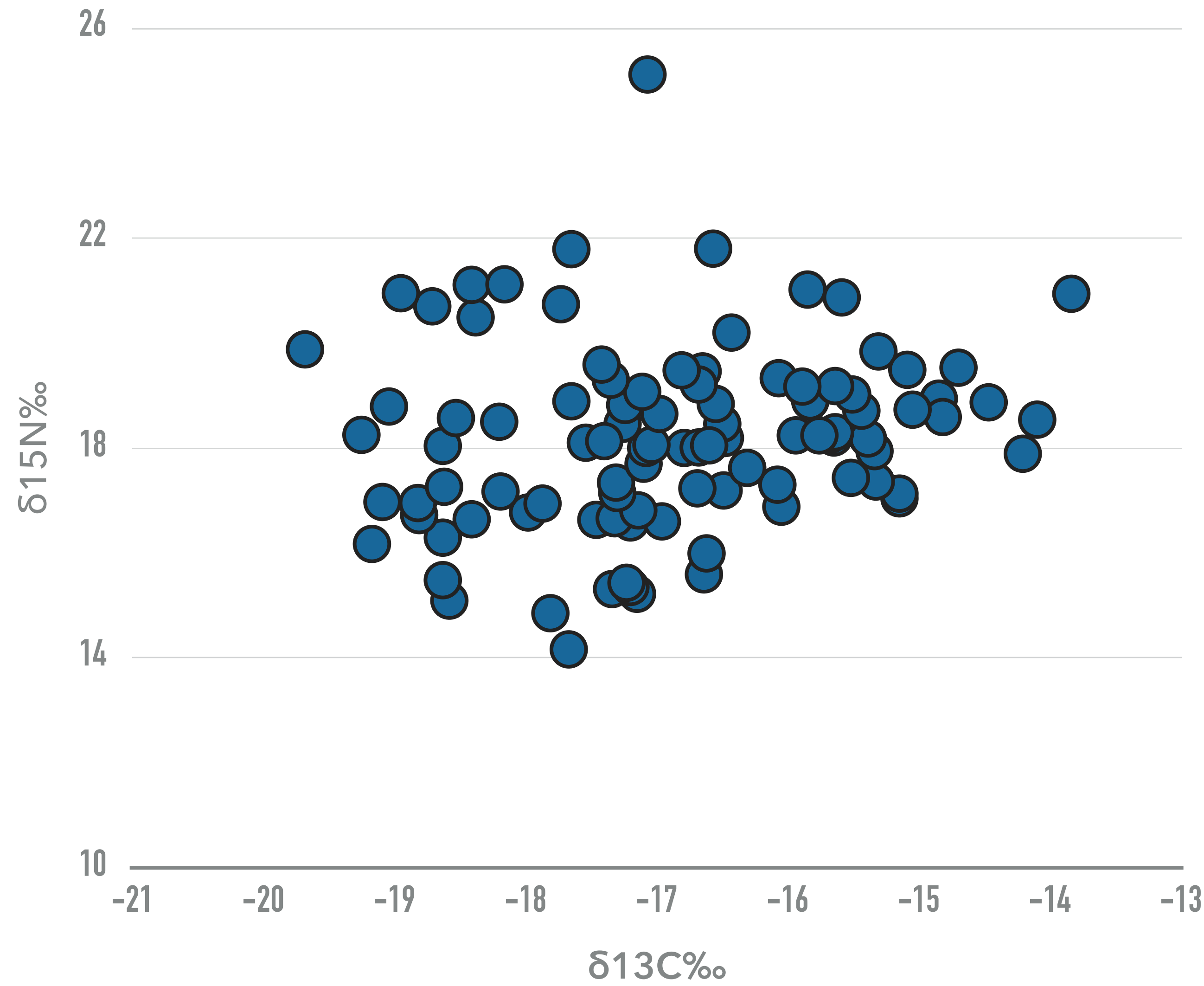
RESULTADOS -SIA-

Species	Group	$\delta^{15}\text{N} \text{\textperthousand}$	$\delta^{13}\text{C} \text{\textperthousand}$	n
<i>Dissostichus elegoniodes</i>	Patagonian tooth-fish	18.30 ± 1.89	-16.88 ± 1.89	100
<i>Gonatus antarcticus</i> <i>Onykia ingens</i>	Squids	10.41 ± 2.23	-18.09 ± 2.13	14
<i>Campylonotus semistriatus</i> <i>Acanthephyra carinata</i>	Shrimp	10.98 ± 2.90	-18.91 ± 2.68	6
<i>Macrourus carinatus</i> <i>Coelorinchus fasciatus</i>	Rattails	15.89 ± 1.76	-16.24 ± 1.71	8
<i>Antimora rostrata</i> <i>Notophycis marginata</i>	Morids	13.85 ± 2.97	-16.66 ± 1.60	14
<i>Micromesistius australis</i> <i>Macruronus magellanicus</i>	Hakes	14.84 ± 2.13	-15.95 ± 1.31	9
			Total	151

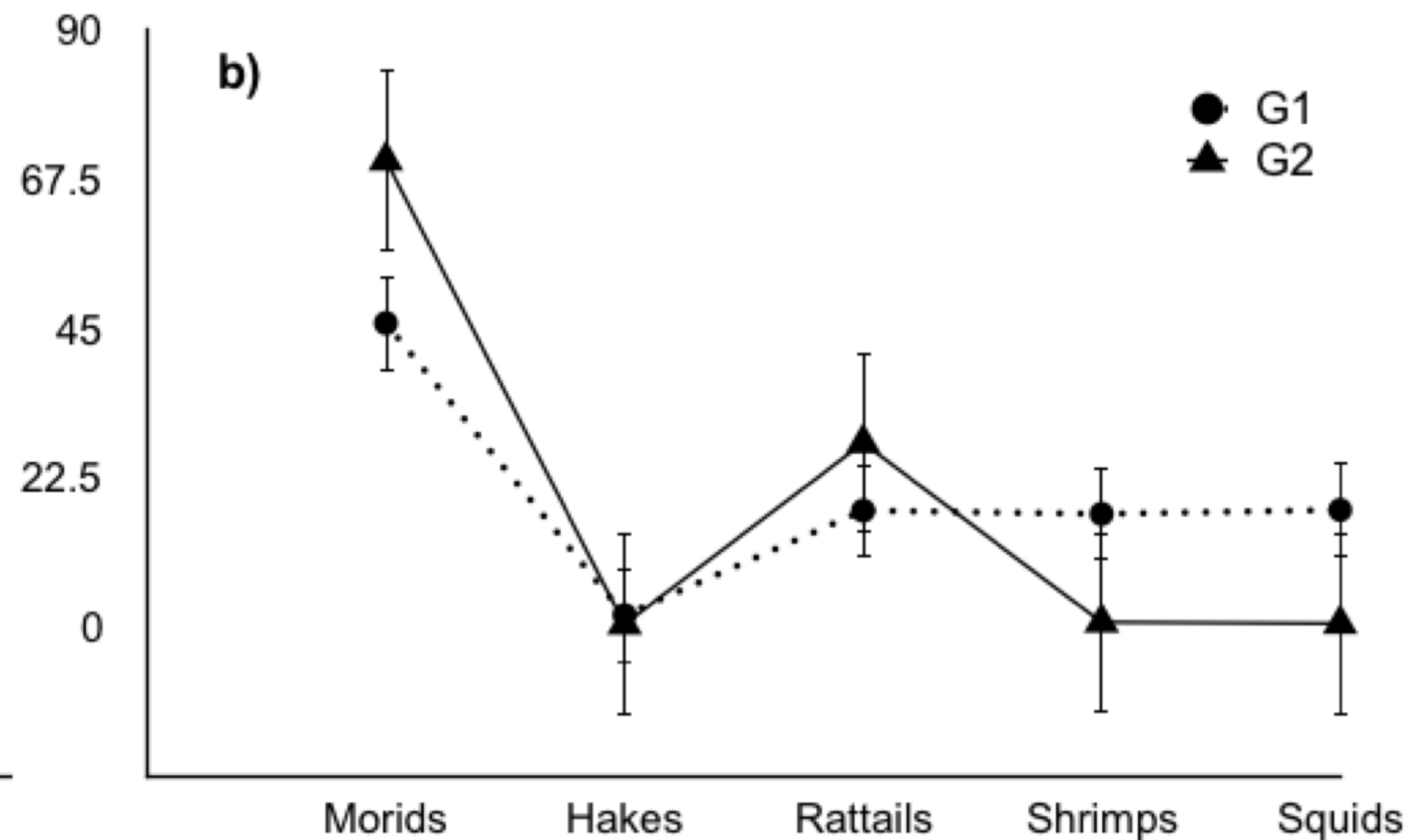
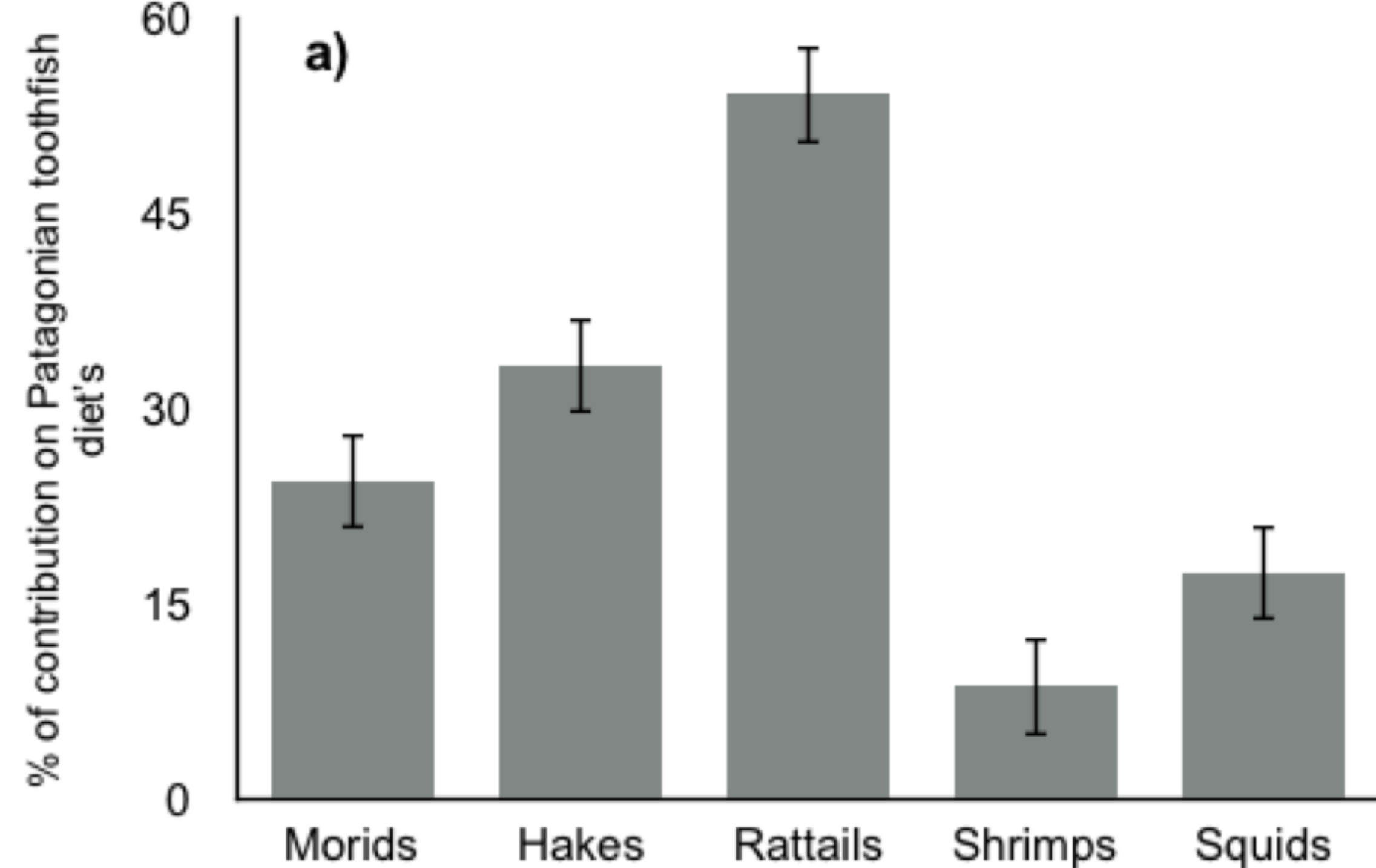
BI-PLOT BACALAO



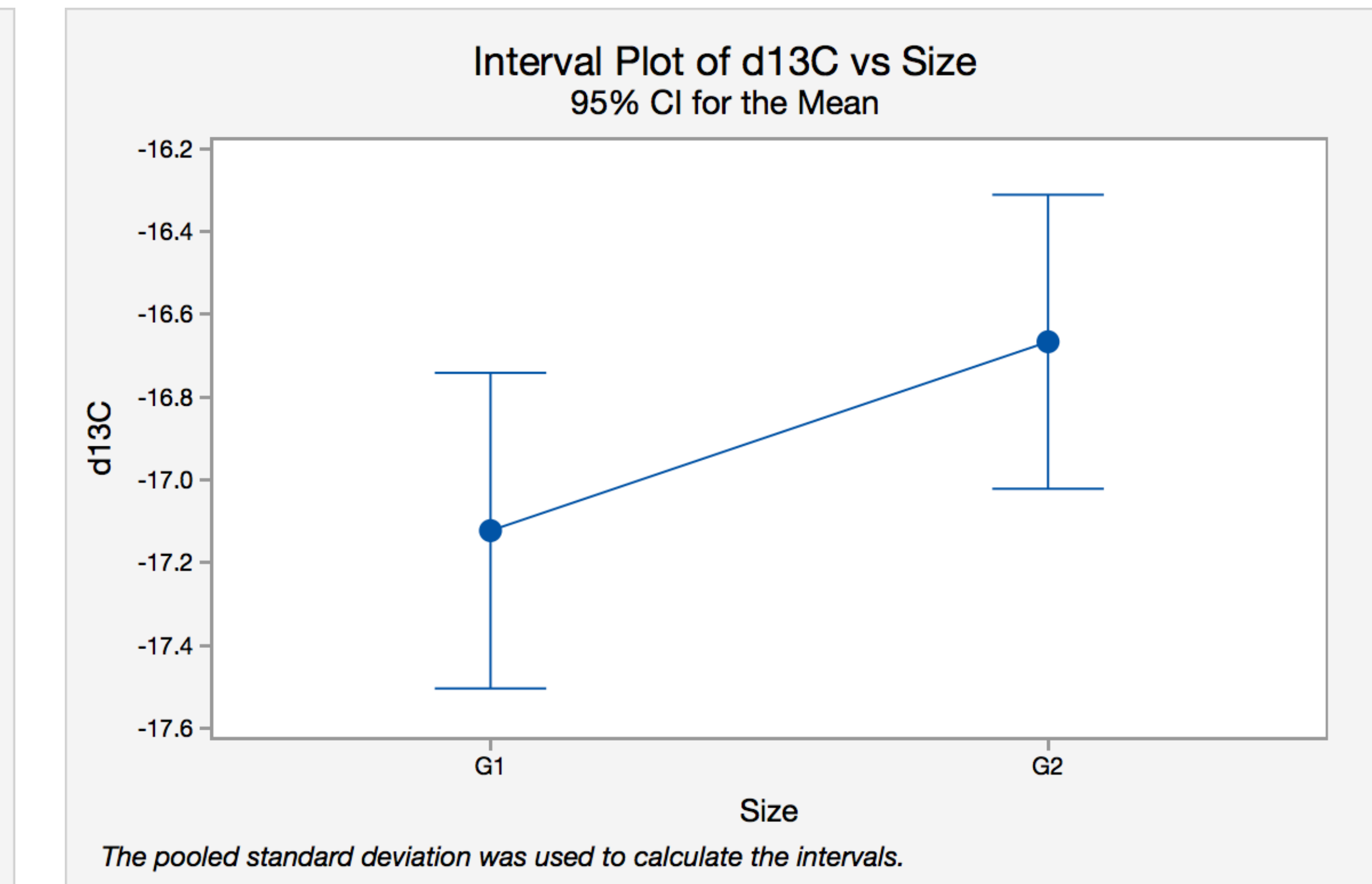
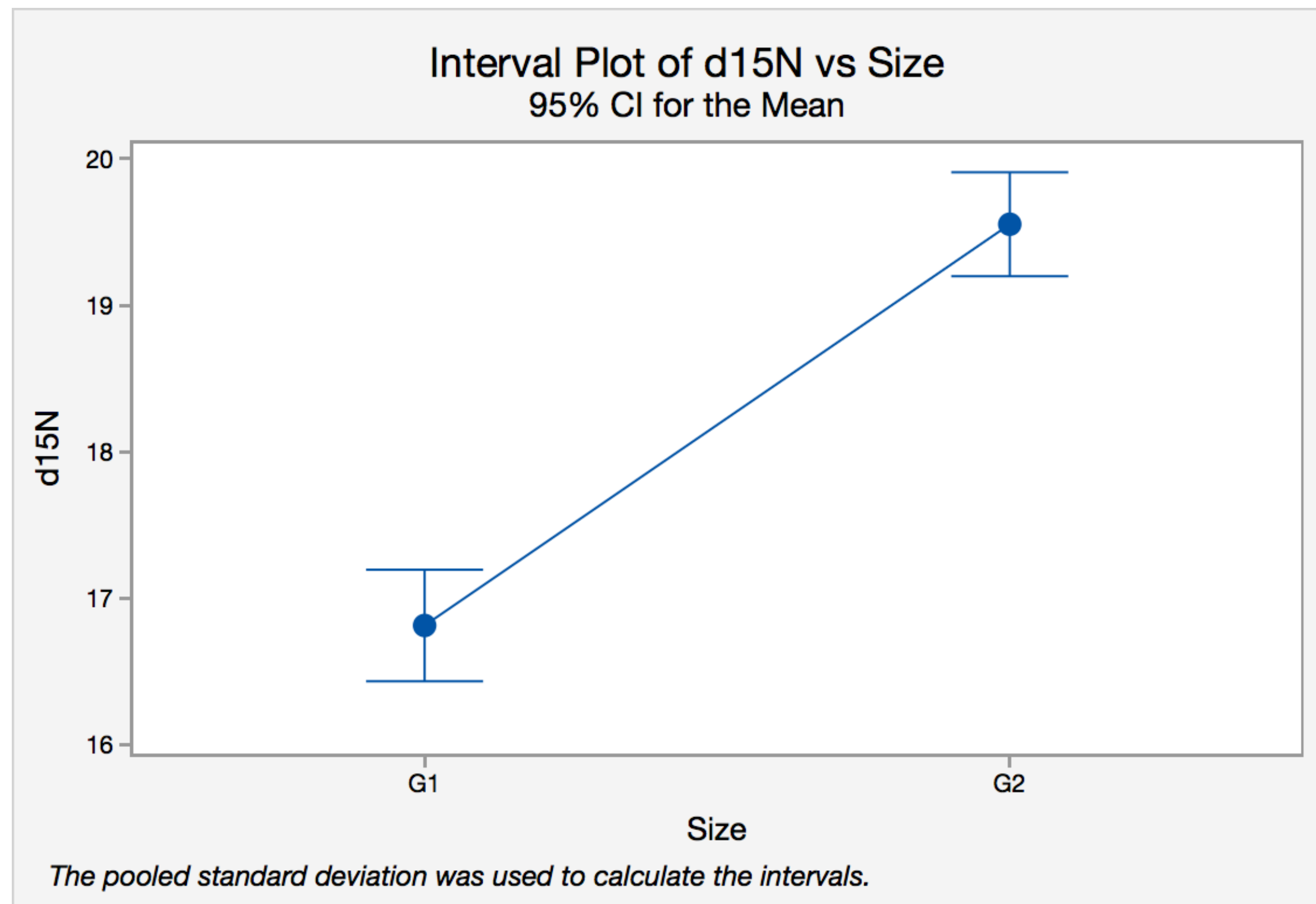
BI-PLOT POBLACIÓN ESTUDIADA



DIETA -SIA-



DIFERENCIACIÓN ONTOGENICA



Tukey Simultaneous Tests for Differences of Means

Difference of Levels	Difference of Means	SE of Difference	95% CI	T-Value	Adjusted P-Value
G2-G1	2.7386	0.2622	(2.2182, 3.2590)	10.44	<0.0001

Individual confidence level = 95.00%

Tukey Simultaneous Tests for Differences of Means

Difference of Levels	Difference of Means	SE of Difference	95% CI	T-Value	Adjusted P-Value
G2-G1	0.4560	0.2623	(-0.0647, 0.9766)	1.74	0.0854

Individual confidence level = 95.00%

CONSUMO DE ALIMENTO

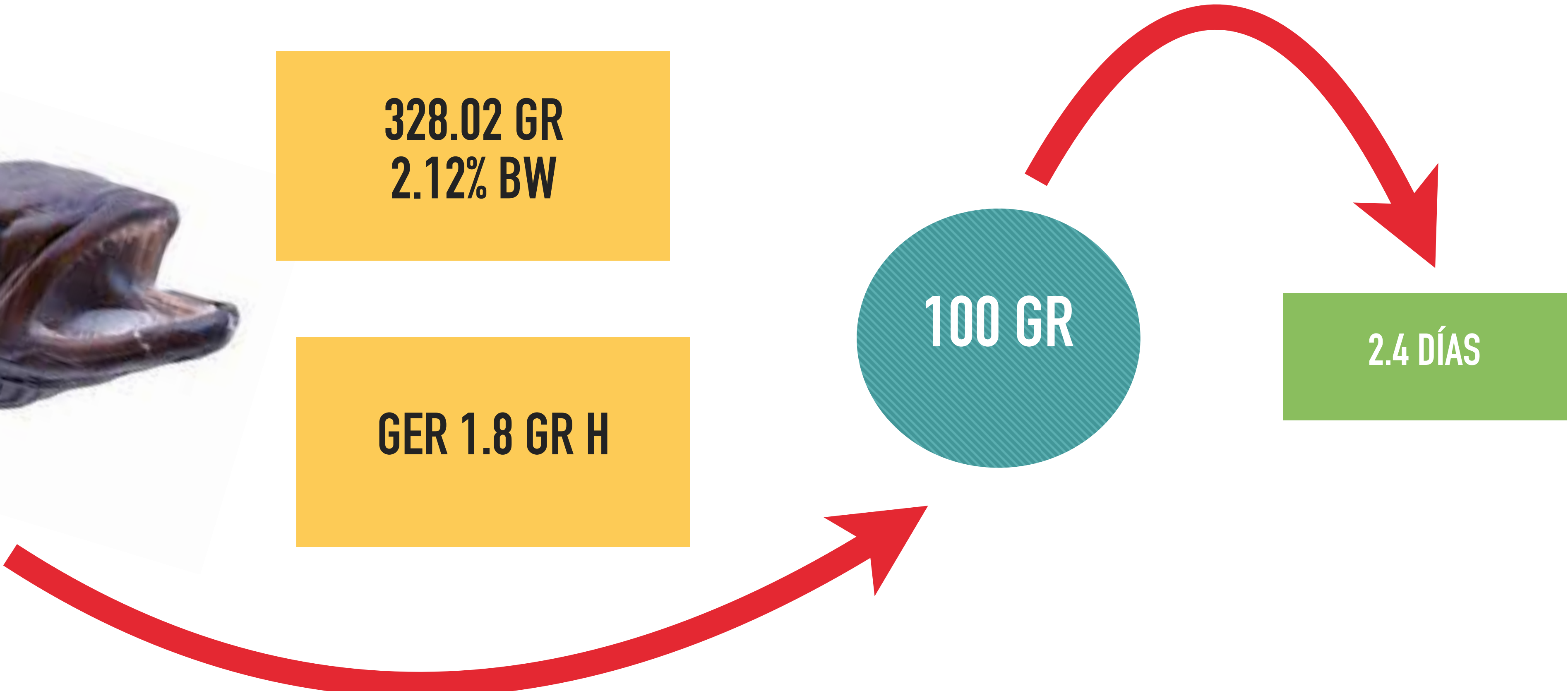


**328.02 GR
2.12% BW**

GER 1.8 GR H

100 GR

2.4 DÍAS



DISCUSIÓN

- Número de estómagos fue suficiente para estudiar la dieta del bacalao
 - SCA - SIA concuerdan con los reportes anteriores
 - Existen diferencias ontogenéticas a través del nitrógeno, pero no en su proporción dietaria
 - la tasa de consumo de bacalao se ajusta a las de un depredador de alimentación intermitente.
 - Similar consumo con otros depredadores de aguas profundas (2-5%).
-
- Mirando hacia el futuro: integración de la composición energética de las presas - mediciones en estructuras duras ($d^{13}C$, $d^{15}N$ y O^{18}).